

MINISTERUL EDUCAȚIEI



---

**UNIVERSITATEA TEHNICĂ**

DIN CLUJ-NAPOCA

**FACULTATEA DE AUTOMATICĂ ȘI CALCULATOARE**  
**DEPARTAMENTUL INFORMATICĂ APLICATĂ**

**APLICAȚIE PENTRU DETECȚIA BOLILOR PULMONARE**

LUCRARE DE LICENȚĂ

Absolvent: **Mihai COZMUȚA**

Conducător științific: **Asist. drd. ing. Vlad MIHALY**

**2021**



MINISTERUL EDUCAȚIEI



**UNIVERSITATEA TEHNICĂ**

DIN CLUJ-NAPOCA

**FACULTATEA DE AUTOMATICĂ ȘI CALCULATOARE**

**DEPARTAMENTUL INFORMATICĂ APLICATĂ**

DECAN,  
Prof. dr. ing. Liviu MICLEA

DIRECTOR DEPARTAMENT,  
Prof. dr. ing. Honoriu VĂLEAN

Absolvent: **Mihai COZMUȚA**

### **APLICAȚIE PENTRU DETECȚIA BOLILOR PULMONARE**

1. **Enunțul temei:** *Lucrarea de față propune o aplicație pentru clasificarea imaginilor radiografice în două clase distincte: sănătos sau bolnav. În realizarea soluției s-au folosit diverși algoritmi pentru procesarea imaginilor, extragerea trăsăturilor și clasificarea sau diagnosticul final.*
2. **Conținutul lucrării:** *Introducere, Obiectivele proiectului, Studiu Bibliografic, Analiză și Fundamentare Teoretică, Proiectare de detaliu și Implementare, Concluzii, Bibliografie*
3. **Locul documentării:** Universitatea Tehnică din Cluj-Napoca, Departamentul Automatică
4. **Data emiterii temei:** 1 Noiembrie 2020
5. **Data predării:** 8 Iulie 2021

Absolvent: Mihai Cozmuța *MCozmuta*

Coordonator științific: Asist. drd. ing. Vlad Mihaly



MINISTERUL EDUCAȚIEI



**UNIVERSITATEA TEHNICĂ**

DIN CLUJ-NAPOCA

**FACULTATEA DE AUTOMATICĂ ȘI CALCULATOARE**

**DEPARTAMENTUL INFORMATICĂ APLICATĂ**

**Declarație pe proprie răspundere privind  
autenticitatea lucrării de licență**

Subsemnatul(a) Cozmuța Mihai, legitimat(ă) cu C.I. MM 780330, CNP 1970116245026, autorul lucrării APLICAȚIE PENTRU DETECȚIA BOLILOR PULMONARE, elaborată în vederea susținerii examenului de finalizare a studiilor de licență la Facultatea de Automatică și Calculatoare, Specializarea Automatică și Informatică Aplicată din cadrul Universității Tehnice din Cluj-Napoca, sesiunea Iulie a anului universitar 2020-2021, declar pe proprie răspundere, că această lucrare este rezultatul propriei activități intelectuale, pe baza cercetărilor mele și pe baza informațiilor obținute din surse care au fost citate, în textul lucrării și în bibliografie.

Declar, că această lucrare nu conține porțiuni plagiate, iar sursele bibliografice au fost folosite cu respectarea legislației române și a convențiilor internaționale privind drepturile de autor.

Declar, de asemenea, că această lucrare nu a mai fost prezentată în fața unei alte comisii de examen de licență.

În cazul constatării ulterioare a unor declarații false, voi suporta sancțiunile administrative, respectiv, *anularea examenului de licență*.

Data

08.07.2021

Nume, Prenume

Cozmuța, Mihai

Semnătura

*MCozmuta*



# Cuprins

|                    |   |           |
|--------------------|---|-----------|
| <b>Capitolul 1</b> | <b>Introducere - Contextul proiectului</b>                          | <b>1</b>  |
| 1.1                | Contextul proiectului . . . . .                                     | 1         |
| 1.2                | Motivația proiectului . . . . .                                     | 2         |
| <b>Capitolul 2</b> | <b>Obiectivele Proiectului</b>                                      | <b>3</b>  |
| 2.1                | Obiective . . . . .   | 3         |
| 2.2                | Specificații . . . . .  | 3         |
| 2.2.1              | Procesarea datelor . . . . .  | 3         |
| 2.2.2              | Extragerea Caracteristicilor . . . . .                              | 4         |
| 2.2.3              | Clasificarea Radiografiilor . . . . .                               | 5         |
| <b>Capitolul 3</b> | <b>Studiu Bibliografic</b>  | <b>7</b>  |
| 3.1                | Pre-procesarea imaginilor . . . . .                                 | 7         |
| 3.1.1              | Corecția Gamma . . . . .  | 7         |
| 3.1.2              | Normalizarea si redimensionarea după același standard al imaginilor | 8         |
| 3.2                | Îmbunătățirea setului de date existent . . . . .                    | 9         |
| 3.3                | Extragerea caracteristicilor . . . . .                              | 10        |
| 3.3.1              | Rețeaua Neuronală Convoluțională — Aspecte generale . . . . .       | 10        |
| 3.3.2              | Modul de extragere al caracteristicilor . . . . .                   | 12        |
| 3.3.3              | Clasificarea finală . . . . .                                       | 13        |
| <b>Capitolul 4</b> | <b>Analiză și fundamentare teoretică</b>                            | <b>14</b> |
| 4.1                | Soluția propusă . . . . .   | 14        |
| 4.1.1              | Metode pentru pre-procesarea datelor . . . . .                      | 14        |
| 4.1.2              | Extragerea trăsăturilor . . . . .                                   | 15        |
| 4.1.3              | Clasificarea . . . . .  | 22        |
| 4.2                | Suport teoretic si algoritmi utilizați . . . . .                    | 23        |
| 4.2.1              | Rețele Neuronale Artificiale . . . . .                              | 23        |
| 4.2.2              | Rețele Neuronale Convoluționale . . . . .                           | 24        |
| 4.2.3              | Convoluția . . . . .  | 28        |

|                     |  |           |
|---------------------|--|-----------|
| <b>Capitolul 5</b>  | <b>Proiectare de Detaliu și Implementare</b> | <b>29</b> |
| 5.1                 | Tehnologii utilizate . . . . .               | 29        |
| 5.1.1               | Pandas . . . . .                             | 30        |
| 5.1.2               | Keras . . . . .                              | 30        |
| 5.1.3               | NumPy . . . . .                              | 30        |
| 5.1.4               | Scikit-learn . . . . .                       | 31        |
| 5.1.5               | Matplotlib . . . . .                         | 31        |
| 5.1.6               | OpenCV . . . . .                             | 32        |
| 5.2                 | Arhitectura sistemului . . . . .             | 33        |
| <b>Capitolul 6</b>  | <b>Concluzii</b>                             | <b>38</b> |
| 6.1                 | Rezumatul contribuțiilor proprii . . . . .   | 38        |
| 6.2                 | Analiza rezultatelor . . . . .               | 39        |
| 6.3                 | Direcții de dezvoltare . . . . .             | 40        |
| <b>Bibliografie</b> |  | <b>41</b> |



# Capitolul 1

## Introducere - Contextul proiectului

### 1.1 Contextul proiectului

Pneumonia este una dintre cauzele principale de deces ale copiilor și unul dintre cei mai mari factori ai creșterii mortalității mondiale. Această boală este responsabilă pentru 16 procente din decesele copiilor sub vârsta de 5 ani, fiind astfel cauza principală a mortalității în cazul copiilor. De exemplu, doar în Statele Unite, un milion de adulți sunt spitalizați în fiecare an din cauza pneumoniei, dintre care peste 50 000 se sting ca urmare a bolii [1]. Recenta criză cauzată de COVID-19 este o amenințare cu viața pentru mii de oameni în anul 2020. Pneumonia secundată de virusul SARS-CoV-2 este o îngrijorare globală, având confirmate cazuri în peste 185 de țări la momentul redactării acestei lucrări [2].

Totuși o diagnosticare precoce, urmată de un tratament de specialitate determină o șansă mare de vindecare în rândul bolnavilor. Diagnosticul precoce a pneumoniei distructive permite inițierea tratamentului și reducerea evoluției nefavorabile a proceselor supurative, care pot duce la invaliditate și deces.

#### Diagnosticarea

Radiografiile (*X-RAY*) sunt metoda cea mai bună pentru a începe consultarea unui pacient suspect de pneumonie. Diagnosticarea pneumoniei se face prin analiza radiografiilor făcute la nivelul pieptului de către medici specialiști în acest domeniu. Aceasta se manifestă prin prezența unor zone opace în radiografie, diagnoza fiind confirmată prin investigarea istoricului medical al pacientului, urmată de analize mai amănunțite de laborator. Diagnosticarea doar prin inspectarea radiografiilor este dificilă din cauza unor alte boli prezente la nivelul plămănilor (pierderea în volum, sângerări, schimbări cauzate de radiografii precedente sau intervenții chirurgicale). Când se poate, compararea unor radiografii realizate la momente diferite în timp și corelarea acestora cu simptomele suferite este un ajutor pentru medici în luarea deciziei. Un alt factor care influențează semnificativ diagnosticul specialiștilor este și modul în care pacientul este poziționat în timpul radio-

grafiei, precum și felul acestuia de a inspira aerul. Aceste lucruri pot complica sarcina medicilor de a oferi un diagnostic corect.

### **Factori de risc**

Persoanele cu cel mai mare factor de risc sunt copiii care au vârsta de 2 ani sau mai mici și adulții care au vârsta de 65 de ani sau peste. Printre cei mai recunoscuți factori de risc se număra:

- spitalizarea (folosirea ventilatoarelor mecanice din camerele de terapie intensivă);
- bolile cronice cum ar fi astmul sau alte probleme cardiace;
- un sistem imunitar slăbit (persoanele care au SIDA sau persoanele care au avut un transplant de organ).

## **1.2 Motivația proiectului**

Există o semnificativă diversitate a interpretărilor radiografice în rândul medicilor. Pentru a îmbunătăți eficiența și acuratețea diagnosticului, sistemele asistate de calculator pentru ajutorul diagnosticării au fost exploatate intens în ultimul deceniu. Detecția de către medici necesită timp îndelungat și este nevoie de multă experiență și pregătire specializată. De preferat ar fi ca acest proces să fie unul cât mai rapid și sigur, identificând două grupuri: cei fără probleme și cei la care există șansa de a avea pneumonie, urmând ca cea de-a doua categorie să treacă mai departe la analize mai amănunțite pentru a stabili cu exactitate prezența sau absența pneumoniei. Acest lucru ar minimiza semnificativ resursele medicale, timpul petrecut de medici analizând radiografiile și, fiind un proces automat, identificarea s-ar putea face chiar de către persoana care face radiografiile.

Proiectul de față propune o soluție automată pentru detecția și clasificarea radiografiilor pulmonare. Metodele folosite pentru identificarea zonelor problematice precum și extragerea trăsăturilor sunt metode proprii care vin ca o îmbunătățire la soluțiile deja existente din acest domeniu. Algoritmii și metodele propuse se bazează pe tehnici noi de procesare a imaginilor precum rețelele neuronale convoluționale.

# Capitolul 2

## Obiectivele Proiectului

### 2.1 Obiective

Ținta acestor lucrări se dorește a fi realizarea unui sistem automat de clasificare a radiografiilor pulmonare. În procesul realizării acestui lucru, se definesc următoarele obiective:

1. Importarea și pre-procesarea datelor. Aplicarea unor corecții asupra radiografiilor pentru a avea un standard în ceea ce le privește (aceeași dimensiune, luminozitate etc.). Imaginile furnizate sunt de asemenea insuficiente ca și număr și nebalansate din punct de vedere al categoriilor, lucru care trebuie avut în vedere înaintea începerii construirii rețelei neuronale.
2. Extragerea caracteristicilor (*Feature extraction*). Caracteristicile vor fi extrase cu ajutorul unei rețele neuronale convoluționale pe care o vom folosi și pentru clasificare.
3. Clasificarea propriu-zisă bazată pe rezultatele de la punctul 2. Clasificarea folosită va fi una binară: pacient sănătos sau pacient bolnav. În cel din urmă caz, vor fi necesare investigații ulterioare.

### 2.2 Specificații

#### 2.2.1 Procesarea datelor

Primul pas în procesarea datelor (n.r. radiografii pulmonare) este aplicarea unei corecții Gamma care constă în reglarea luminozității unei imagini, mai precis a intensității luminoase [2.1].

Pixelii care formează o imagine iau valori între 0 și 255. Următoarea operațiune aplicată a fost normalizarea valorilor pixelilor din intervalul [0-255] în intervalul [0-1] pentru a îmbunătăți performanțele rețelei.

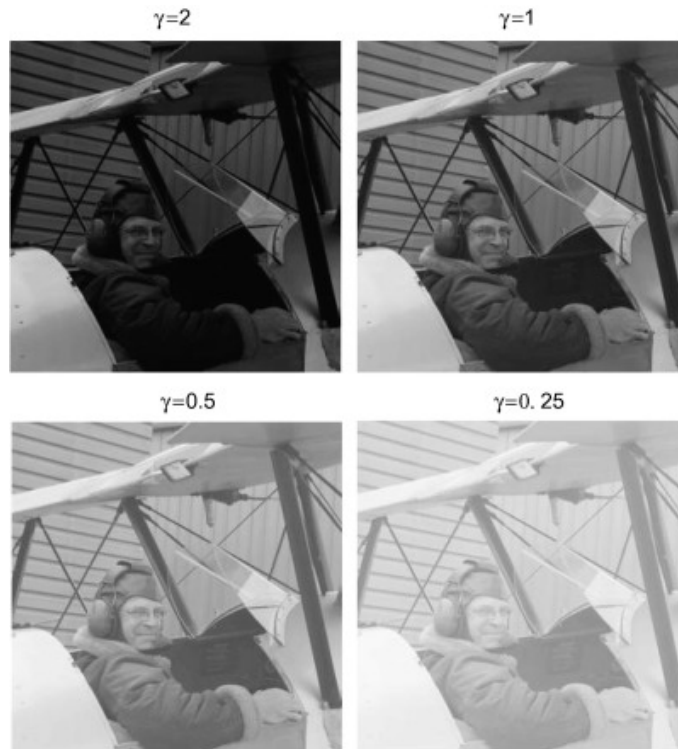


Figura 2.1: Rezultatele aplicării unei corecții Gamma. Sursa: [3]

Ultimul pas este reprezentat de augmentarea datelor. Acest proces este necesar deoarece setul de date poate fi nebalansat (mai multe radiografii ale pacienților nesănătoși decât ale pacienților sănătoși), lucru care afectează negativ procesul de învățare al rețelei neuronale. În cadrul acestei etape se aplică alterări ale imaginilor (decupări, rotiri, *zoom*) pentru a obține mai multe date și a avea un set cât mai echilibrat.

### 2.2.2 Extragerea Caracteristicilor

Spre îndeplinirea acestui obiectiv se folosesc Rețelele Neuronale Covoluționale (*CNN*) sunt o sub clasă a rețelelor neuronale. Acestea sunt formate din câteva straturi (*layers*): *input*, *output* și straturile ascunse dintre ele. Acestea din urma fac cea mai multă treaba din punctul de vedere al calculelor. În extragerea caracteristicilor, stratul convoluțional (*convolutional layer*) este cel mai important: se axează pe caracteristicile mărunte (cu ajutorul unor filtre) și le agregă în caracteristici de nivel înalt în următorul layer [4].

Un alt element care are un rol important este așa-numitul *pooling layer*. Scopul principal al acestora (vor fi mai multe în cadrul unui CNN) este reducerea mărimii imaginii fără a pierde informații relevante, cu aceasta reducând numărul de operații și memoria utilizată. Acest proces scade și numărul parametrilor, eliminând astfel riscul de învățare greșită al algoritmului.

### 2.2.3 Clasificarea Radiografiilor

Pentru clasificare, ultimul pas din această problemă, Rețeaua Neuronală Convoluțională vine în ajutor printr-un parametru important și anume funcția de activare (*activation function*). Funcția de activare primește ca și intrare ieșirile neuronilor layer-ului anterior, rezultatul ei fiind primit ca și input de către neuronii următorului strat. Prin urmare, vom avea mai multe funcții de activare în rețeaua noastră.

Clasificarea propriu zisă o vom face folosind funcția de activare Sigmoid [2.2], fiind cea mai bună în metode de clasificare. Indiferent de valorile pe care funcția le primește de la rețeaua neuronală, ieșirea acesteia (și implicit a algoritmului nostru) va fi o valoare subunitară ( $[0-1]$ ), reprezentand probabilitatea unui anumit rezultat.

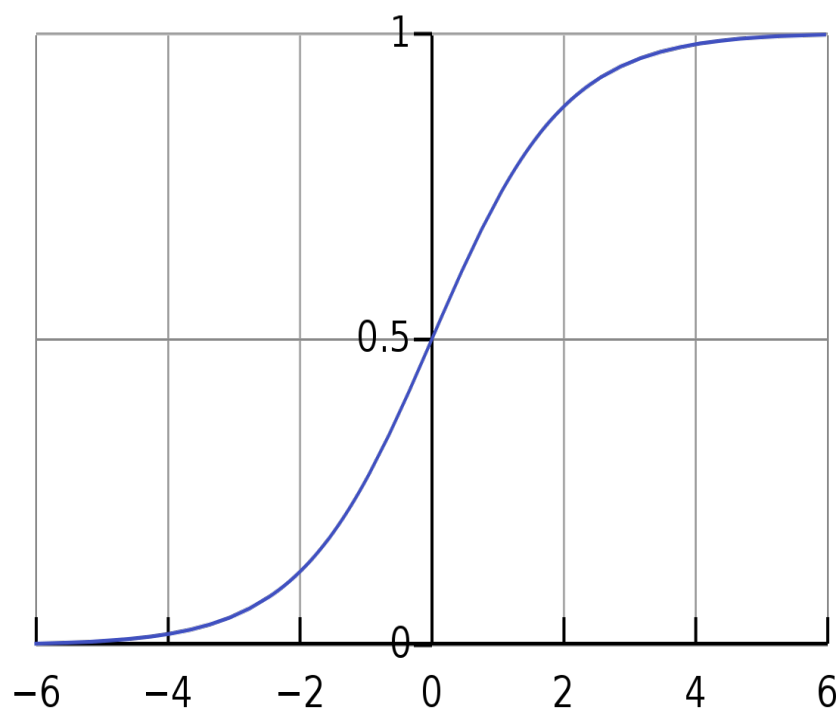


Figura 2.2: Funcția Sigmoid

În figura 2.3 am realizat arhitectura completă a aplicației (de la intrare la ieșire) conform celor enumerate și parțial descrise în această secțiune. Se poate observa că principala componentă în alcătuirea soluției este blocul CNN (*Convolutional Neural Network*), bloc ce conține mai multe sub-module care sunt de fapt layerele care compun rețeaua neuronală.

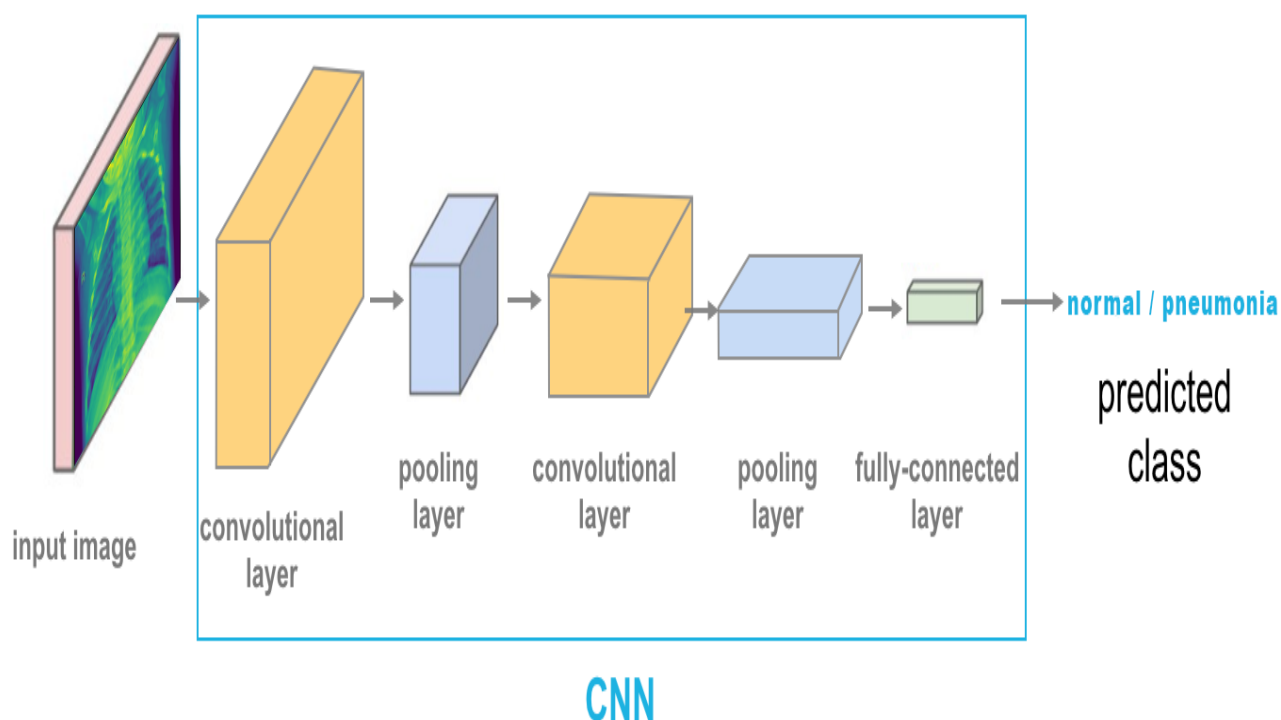


Figura 2.3: Arhitectura aplicației

Se pot observa, în figura de mai sus (2.3), blocurile principale care compun soluția prezentată în acest proiect. Fiecare dintre aceste componente, începând de la imaginea plânilor și terminând cu componenta de prezicere finală, vor fi analizate în amănunt în cadrul capitolelor următoare. Acest model al arhitecturii unei soluții pentru prezicerea clasei unei imagini este printre cele preferate de autorii studiilor în domeniu [5], [6].

Pentru o completare a figurii 2.3, trebuie menționat faptul că imaginea de input care ajunge să fie transmisă rețelei neuronale va suferi diferite transformări (ajustări ale mărimii, culorii etc.) care vor facilita o prezicere cu un grad cât mai ridicat de acuratețe, care este și scopul unei lucrări din domeniul medical.

Obiectivul final (și cel mai important) din cadrul proiectului este o predicție cât mai aproape de realitate care să reprezinte un punct de pornire pentru dezvoltarea ulterioară a soluției de față, cum ar fi integrarea într-un sistem medical mai amplu care să conțină informații relevante despre pacienți.

# Capitolul 3

## Studiu Bibliografic

Clasificarea radiografiilor și detecția anormalităților regăsite în acestea este o problemă comună în zilele noastre. Se află o mulțime de algoritmi și soluții care încearcă să rezolve această problemă. Mai jos în acest capitol voi prezenta cele mai folosite și studiate abordări care există pe această nișă a procesărilor de imagini în scop medical. Aceste abordări au ajutat ca și puncte de pornire pentru soluțiile propuse în acest proiect.

### 3.1 Pre-procesarea imaginilor

Unul dintre cei mai importanți pași, când vine vorba de seturi de date care conțin imagini, este pre-procesarea acestora. Un set de date care nu este potrivit duce la rezultate incoerente, deci inutilizabile. În [7], autorul prezintă mai multe metode de augmentare și standardizare a imaginilor având ca și scop îmbunătățirea performanțelor Rețelelor Neuronale:

- Corecția Gamma
- Normalizarea și redimensionarea după același standard al imaginilor
- Îmbunătățirea setului de date

#### 3.1.1 Corecția Gamma

Prin Corecția Gamma (3.1) se înțelege modificarea intensității luminoase a unei imagini și reprezintă una dintre cele consacrate tehnici din domeniul procesărilor de imagini [8]. Transformarea Gamma este definită prin următoarea relație:

$$s = c * r^\gamma \tag{3.1}$$

unde  $c$  și  $r$  sunt niște constante pozitive.

Pentru un nivel de gri normal (valoarea pixelilor în intervalul [0-255]):

- dacă  $\gamma > 1$ , atunci se obțin imagini cu un nivel al luminozității ridicat ( $r > r^\gamma$ );
- dacă  $\gamma < 1$ , atunci imaginile sunt mai întunecate ( $r < r^\gamma$ ).

Rolul constantei  $c$  este de a rafina luminozitatea obținută prin Corecția Gamma definită mai sus.

În unele cazuri este considerată varianta normalizată a imaginilor (valoarea pixelilor aparținând intervalului  $[0-1]$ ) despre care vom discuta în secțiunea următoare. În situațiile sus-numite, efectul transformării este invers:

- $\gamma < 1$  imaginea corectată este mai luminoasă decât cea originală;
- $\gamma > 1$  imaginea corectată este mai întunecată decât cea originală.

Un exemplu al aplicării acestei Transformate Gamma se regăsește în capitolul anterior, figura 2.1.

### 3.1.2 Normalizarea și redimensionarea după același standard al imaginilor

Problema normalizării setului de date de intrare se ridică atunci când datele (în cazul nostru, imaginile) au un mare domeniu de valori. Descriș foarte bine de R.C. *Gonzalez* în [7], aceasta este o etapă importantă și obligatorie aproape de fiecare dată când lucrăm cu seturi mari de date.

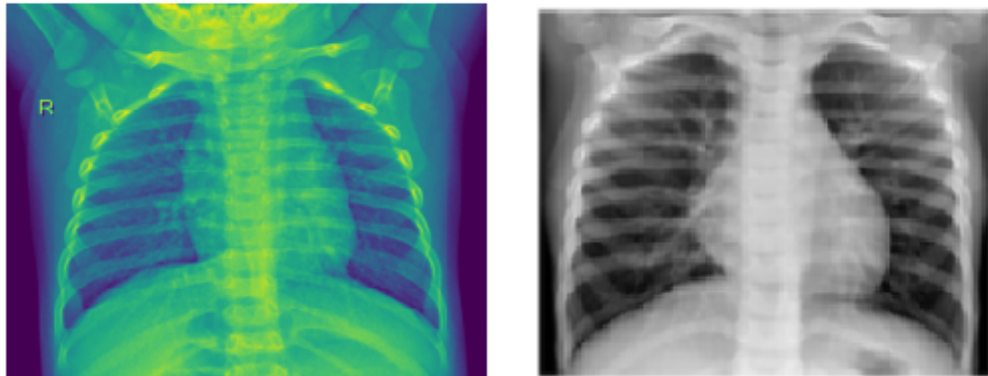
Fiind niște radiografii făcute prin intermediul unor instrumente medicale folosite de tehnicieni radiologi (influența factorului uman), acesta din urmă corelată cu faptul că nu toate radiografiile au fost realizate folosind același aparat, duce la o neregularitate în dimensiunea imaginilor. Acest aspect este evidențiat în figura [], unde putem regăsi un exemplu din setul de date folosit în realizarea proiectului împreună cu eticheta aferentă fiecărei radiografii, observându-se discrepanța și lipsa unui standard în ceea ce privește dimensiunea imaginilor.

În [9], autorii afirmă că una dintre cele mai comune metode de normalizare este o scalare liniară a datelor de intrare. În cazul procesării imaginilor, acest lucru se referă la remaparea valorilor pixelilor din intervalul lor obișnuit,  $[0-255]$ , în intervalul  $[0-1]$ .

Tot în scopul îmbunătățirii performanței se propune standardizarea imaginilor, acestea trebuind redimensionate și preferabil trecute printr-un filtru *gray-scale* (vezi figura 3.1) [10], [7].

Soluția de procesare a imaginilor propusă de autori în [6] pune în evidență mai multe operații care se pot realiza în scopul obținerii unor rezultate care să satisfacă obiectivele propuse, însă argumentul adus de Rafael Gonzalez și Richard Woods în lucrarea [7] este în favoarea procesărilor simple (redimensionare, aplicarea *gray-scale* etc.) dar cu un impact important asupra rezultatului final.



Figura 3.1: Aplicarea filtrului *gray-scale*

### 3.2 Îmbunătățirea setului de date existent

Un alt aspect important, care de asemenea îmbunătățește semnificativ rezultatele și elimină riscul incapacității Rețelei Neuronale Convoluționale de a generaliza și a nu învăța pe derost, este lipsa echilibrului în setul de input [7]. Mai exact, imaginile etichetate ca aparținând clasei *A* sunt în număr mult mai mic decât imaginile clasei *B*, 3.2.

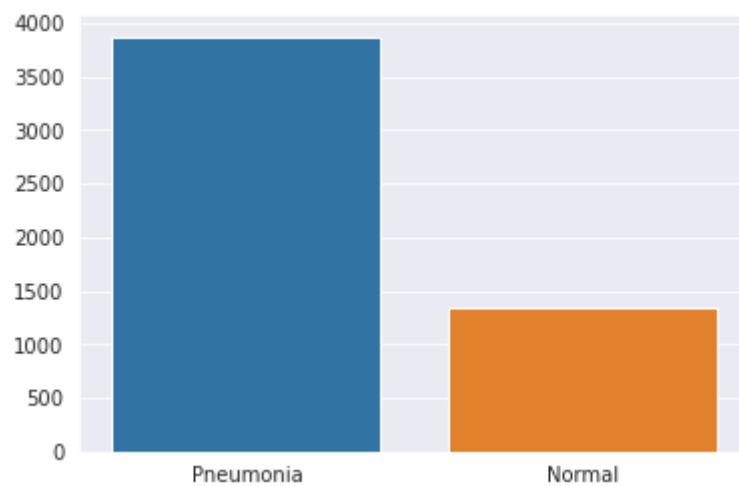


Figura 3.2: Exemplu de data-set nebalansat

Aceasta este o problemă generală când se aduce în discuție orice problemă care necesită învățarea din date pentru a produce o clasificare, dar aceasta este mult mai serioasă

cand vine vorba de domeniul medical. În [11], autorii descriu pe larg probleme majore care apar din cauza unui set de date care favorizeaza una dintre clase în domeniul bancar sau medical, acestea fiind cele mai predispuse la erori semnificative.

A.Geron [12] și Gonzalez et al. [7] propun mai multe metode pentru augmentarea datelor, fiind în majoritatea circumstanțelor o muncă laborioasă pentru a obține mai multe date aparținând unei anumite clase. Dintre acestea enumerăm:

- decupare;
- mărire (efectul de zoom-in);
- rotire.

Toate operațiile enumerate mai sus se aplică imaginilor deja existente. Acestea se realizează folosind metodele puse la dispoziție în librăria Keras [12], care oferă algoritmi potriviți pentru aplicarea operațiilor menționate.

### 3.3 Extragerea caracteristicilor

Retelele Neuronale Convoluționale (*Convolutional Neural Networks*) sunt folosite la scară largă în ceea ce privește problemele de recunoaștere a imaginii (*image recognition*) deoarece prezintă un important set de avantaje în comparație cu alte tehnici.

#### 3.3.1 Rețeaua Neuronală Convoluțională — Aspecte generale

O Rețea Neuronală Convoluțională (*Convolutional Neural Network*) este un sistem de *neuroni* artificiali care fac schimb de informații între ei. Conexiunile dintre aceștia au ponderi numerice care sunt transformate în timpul procesului de antrenare, astfel încât o rețea antrenată corespunzător să răspundă corect (sa returneze o valoare corectă) când la intrare îi este aplicată o imagine pe care trebuie să o recunoască.

Straturile (*layers*) unei astfel de rețele sunt construite astfel încât primul strat detectează niște tipare (*patterns*) primitive din imaginea de input, al doilea detectează tipare ale tiparelor, al treilea tipare ale tiparelor precedente și așa mai departe. Un CNN are, în cele mai multe cazuri, între 5 și 25 de astfel de straturi pentru recunoașterea tiparelor.

Rețelele neuronale sunt inspirate din sistemele neuronale biologice. Unitatea de bază (structurală și funcțională) a sistemului nervos este neuronul. Neuronii sunt conectați între ei cu ajutorul sinapselor (legături neuronale). Figura 3.3 propune o comparație între un neuron biologic și un model matematic al unui neuron.

Deși în lucrările lor [5], [6], autorii propun metode diferite de a aborda clasificarea imaginilor din diferite puncte de vedere, un lucru pe care îl au în comun și asupra căruia aproape că nu există contestație în acest domeniu este folosirea rețelelor neuronale de tip convoluțional oricând vine vorba de a lucra (indiferent de scopul final: clasificare, clusterizare etc.) cu un set de date compus din imagini.

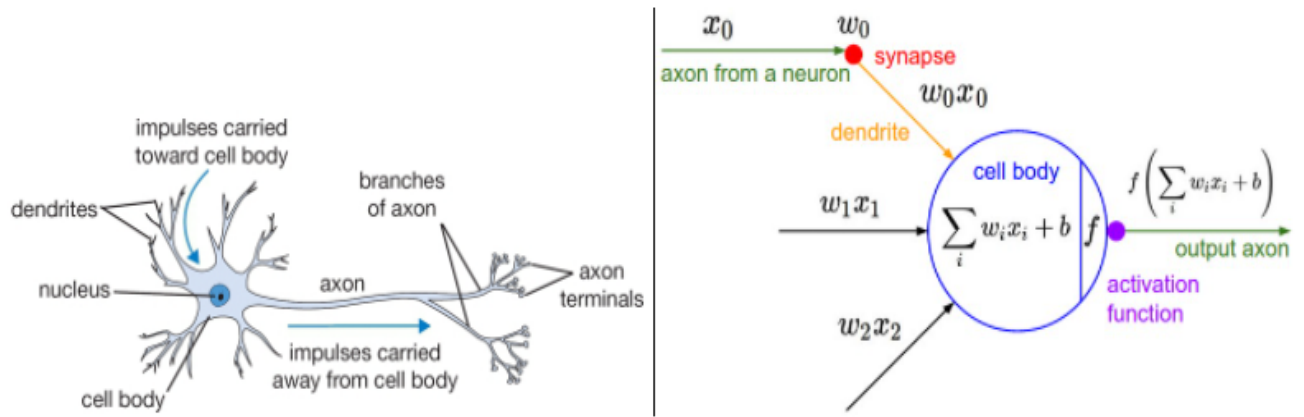


Figura 3.3: Neuron biologic (stanga) și reprezentarea sa matematică (dreapta) [13]

În domeniul clasificării de imagini (scopul acestei lucrări), identificarea se face folosind setul de date de antrenare: imagini ale radiografiilor pulmonare, fiecare împreună cu categoria aferentă acestora (pentru a putea determina acuratețea rezultatelor). Procesul de antrenare seamănă cu o buclă de reglare clasică care își ajustează ponderile într-un mod iterativ (calculând eroarea la fiecare pas) până se ajunge la o valoare acceptabilă a erorii. Schema bloc a procesului descris anterior este reprezentată în Figura 3.4, unde se pot vedea elementele și cum acestea interacționează între ele, precum și influența lor asupra rețelei neuronale: ajustarea ponderilor în funcție de eroarea calculată.

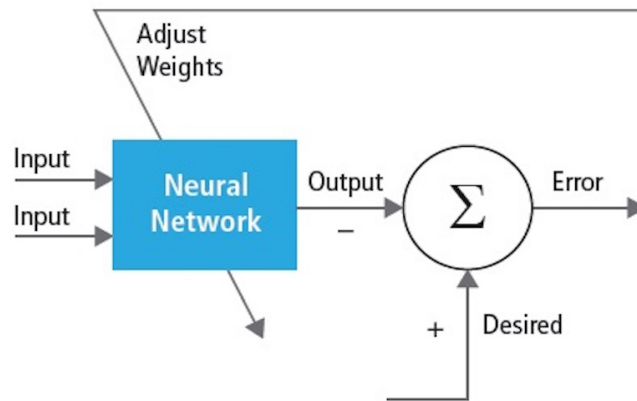


Figura 3.4: Schema procesului de învățare a unei Rețele Neuronale

Rețelele Neuronale Convolaționale se prezintă ca fiind cea mai bună și corectă metodă de identificare și clasificare a imaginilor. Nu doar că oferă cea mai bună soluție din punct de vedere al performanțelor (comparativ cu alți algoritmi de identificare), ci chiar

depășesc în performanțe factorul uman în probleme cum ar fi recunoașterea unor specii de animale (de exemplu specii de câini sau păsări) [14].

Layerurile unei rețele neuronale pot fi împărțite în 3 categorii: layerul de intrare (*input layer*), layerurile ascunse (*hidden layers* sunt în număr mai mare și pot fi la rândul lor clasificate în mai multe grupuri) și layerul final de ieșire (*output layer*). Figura 3.5 pune în evidență și modul cum acestea comunică între ele la nivel înalt.

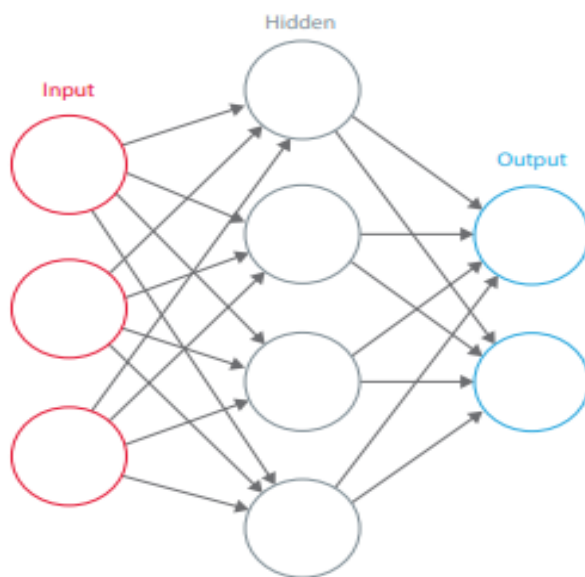


Figura 3.5: Distribuția layerurilor într-o rețea neuronală. Sursa: [15]

### 3.3.2 Modul de extragere al caracteristicilor

Caracteristicile (*features*) au fost extrase cu ajutorul rețelelor neuronale. Propuse de Baltruschat, I.M., Nickisch, H., Grass, M. *et al.* în [16], acestea sunt considerate cel mai înalt standard în domeniul de clasificare a imaginilor. Layerurile convoluționale din rețea extrag trăsăturile dintr-o anumită imagine, învățând pe perioada antrenării care caracteristică este specifică fiecărei clase.

Un alt mod în care poate fi făcută o clasificare este fără a antrena deloc o rețea neuronală cu imaginile din setul de date, ci folosirea unor modele antrenate anterior și consacrate în acest domeniu. Acest tip de abordare se numește *transfer learning* și este des întâlnit în cazul clasificărilor de imagini medicale [13], [4]. Figura prezintă o comparație între abordarea clasică: un model pentru fiecare problemă și *transfer learning*: un model deja antrenat care este adaptat la o problemă nouă.

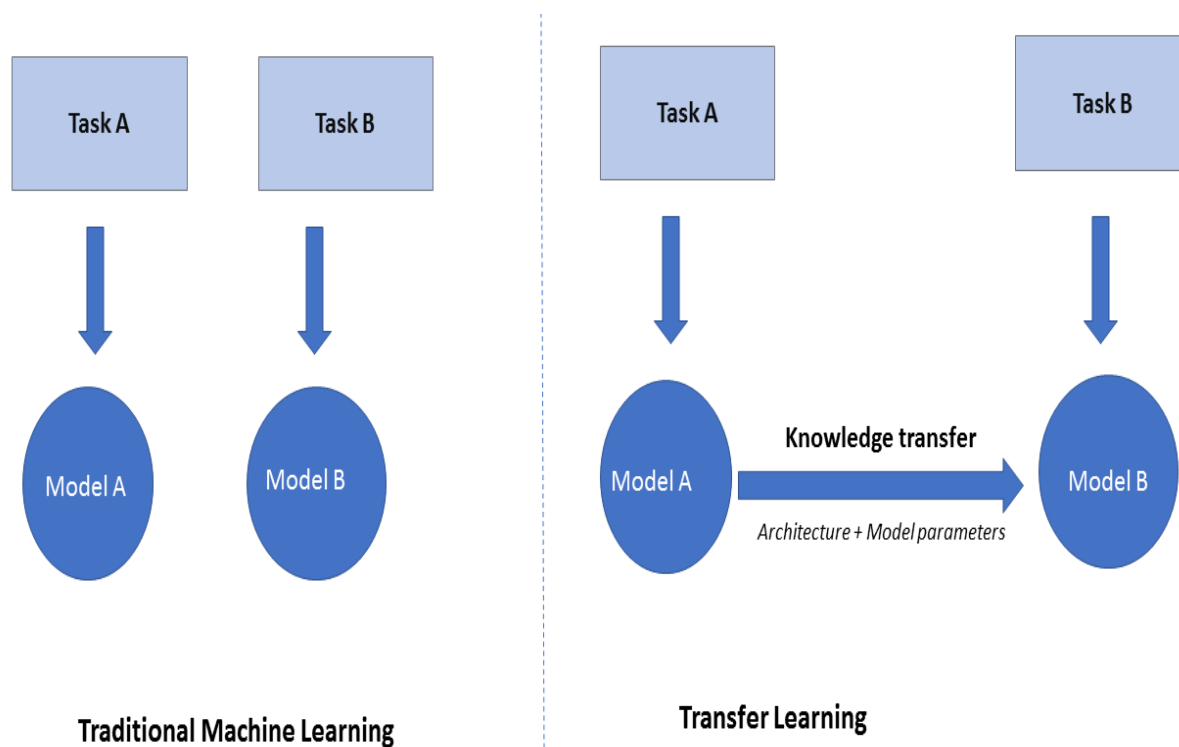


Figura 3.6: Metoda clasică de Machine Learning și metoda Transfer Learning [17]

### 3.3.3 Clasificarea finală

Ultima parte a rețelei neuronale este alcătuită din partea de clasificare. În cadrul acestei părți, părerile sunt împărțite. Unii autori susțin în lucrările lor [4],[5] că antrenarea unei rețele neuronale urmată de folosirea unei funcții de activare (Sigmoid, ReLU etc.) care să primească ca input caracteristicile obținute de rețea până în acel moment este cea mai bună practică pentru obținerea unui rezultat. Pe de altă parte, există autori care susțin în publicațiile lor [18] că acele caracteristici obținute în urma antrenării rețelei neuronale pot fi folosite pentru a antrena un model mai simplu de machine learning (Regresie Logistică, Support Vector Machine, Arbori de decizie etc.) care să realizeze predicția pe baza caracteristicilor oferite de rețeaua neuronală. În acest din urmă caz, rețeaua neuronală ar urma să se ocupe de segmentarea imaginii, după care acestea ar fi folosite drept punct de pornire pentru algoritmi sau modelele menționate anterior.

# Capitolul 4

## Analiză și fundamentare teoretică

În prima parte a acestui capitol este prezentată soluția propusă din punct de vedere teoretic: arhitectura rețelelor neuronale convoluționale, algoritmi pentru pre-procesarea datelor, extragerea caracteristicilor și soluția finală propusă.

Arhitectura modelului propus este divizată în trei părți: partea de pre-procesare, de extragere a caracteristicilor și ultimul pas de clasificare.

### 4.1 Soluția propusă

#### 4.1.1 Metode pentru pre-procesarea datelor

În lucrarea de față s-a folosit un set de date conținând 5856 de imagini cu radiografii la nivelul toracelui. Aproximativ 1500 dintre acestea sunt clasificate ca fiind ca aparținând clasei *normal*, restul de peste 4200 indicând prezența pneumoniei.

În figura 4.1 sunt prezente exemple de radiografii din setul de date aparținând atât clasei normale cât și clasei bolnave (având pneumonie), observându-se caracteristicile diferite ale acestora.

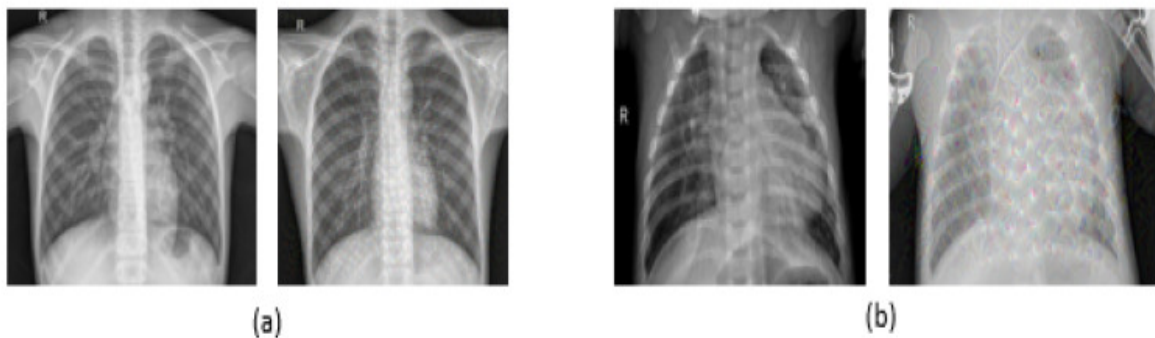


Figura 4.1: (a) Imagini cu plămâni normale; (b) Imagini cu plămâni bolnave.

Imaginile din setul de date au rezoluții de la **712 x 439** până la **2338 x 2025** (pixeli). Înainte de a le furniza ca și intrare pentru model, acestea trebuie să fie aduse la o dimensiune standard: **224 x 224** pixeli. Înainte de începerea antrenării rețelei neuronale, datele au fost împărțite aleatoriu în două părți: 70% destinate antrenării și restul de 30% validarea rezultatelor.

Având în vedere diferența de clase enunțată în paragrafele anterioare (diferența de aproape 3000 de imagini în favoarea clasei plămanilor sănatoși), abilitatea de generalizare a unui algoritm poate fi grav afectată (acesta ar învăța pe de rost). Pentru a îmbunătății performanțele s-au folosit metode de augmentare, înaintea începerii antrenării rețelei neuronale, care nu au alterat clasele cărora imaginile aparțineau.

Fiecare radiografie (n.r. imagine) a fost transformată conform pașilor descriși ulterior:

- Rotirea: Fiecare imagine a fost rotită cu 20°;
- Transpunerea: Matrice de pixeli care formează o imagine a fost transpusă;
- Iluminarea aleatorie: S-au folosit diferite valori pentru a mări luminozitatea imaginii.

Partea de pre-procesare cuprinde de asemenea și normalizarea imaginii. Pentru fiecare canal de culoare se împarte valoarea fiecărui pixel la 255. Aplicând un astfel de filtru *gray-scale*, valorile pixelilor nu vor mai fi în intervalul lor standard [0-255] ci vor avea doar valori în intervalul [0-1] (4.1). În urma acestui proces de normalizare se obține o imagine gri (precum cele din Figura 4.1).

$$image\_normalizata = \frac{image_{ij}}{255} \quad (4.1)$$

Asupra imaginilor se vor mai aplica și alte transformări, în momentul începerii procesului de antrenare al rețelei neuronale. Despre acesta vom discuta într-una dintre secțiunile următoare.

#### 4.1.2 Extragera trăsăturilor

Extragerea trăsăturilor sau a caracteristicilor se realizează folosind o Rețea Neuronală Convoluțională (*Convolutional Neural Network*). Acest proces reprezintă practic procesul de antrenare al rețelei noastre neuronale, urmând ca trăsăturile obținute să fie date ca și intrare unei funcții de activare (acest ultim aspect este prezentat în secțiunea următoare). Arhitectura extragerii trăsăturilor folosind o rețea neuronală este prezentată în Figura 4.2

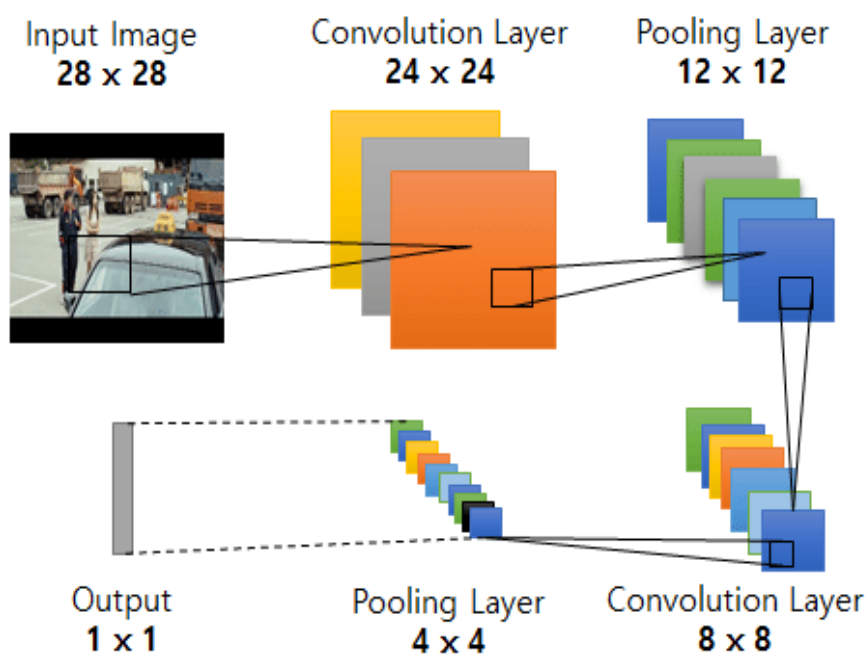


Figura 4.2: Extragerea caracteristicilor folosind CNN [19]

### Convoluția

Blocul cu cea mai mare importanță, cel care dă și numele acestui tip de rețea neuronală, este cel convoluțional. Convoluția este o operație matematică de a combina două seturi de informații (semnale, matrici etc.). În cadrul acestei soluții, convoluția este aplicată imaginilor sub forma unui filtru de convoluție pentru a produce o hartă a caracteristicilor (Figura 4.3).

|   |   |   |   |   |
|---|---|---|---|---|
| 1 | 1 | 1 | 0 | 0 |
| 0 | 1 | 1 | 1 | 0 |
| 0 | 0 | 1 | 1 | 1 |
| 0 | 0 | 1 | 1 | 0 |
| 0 | 1 | 1 | 0 | 0 |

Input

|   |   |   |
|---|---|---|
| 1 | 0 | 1 |
| 0 | 1 | 0 |
| 1 | 0 | 1 |

Filter / Kernel

Figura 4.3: Exemplu de input și filtrul de convoluție aplicat asupra lui



În partea stângă a figurii 4.3 se află un input al blocului de convoluție (de exemplu: imaginea unei radiografii), iar alături de acesta este filtrul asociat. Deoarece mărimea filtrului este de  $3 \times 3$ , așa se numește și acest tip de convoluție.

Operația de convoluție se realizează prin suprapunerea filtrului peste datele de intrare. Pentru fiecare suprapunere, înmulțim matricile element cu element și însumăm rezultatul. Suma rezultată va fi adăugată în harta caracteristicilor (*feature map*). Zona verde (Figura 4.4) unde are loc convoluția se numește *receptive field*. Procesul este unul iterativ, mergând pas cu pas până la completarea hărții caracteristicilor.

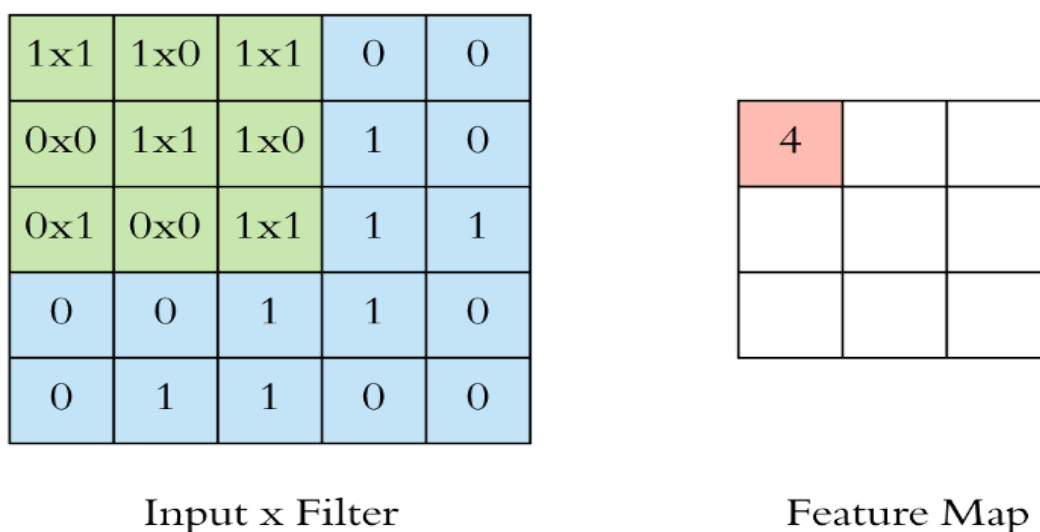


Figura 4.4: Aplicarea operației de convoluție [20]

Exemplul evidențiat mai sus este aplicarea convoluției pentru o imagine bidimensională (2D) folosind un filtru  $3 \times 3$ . În realitate, aceste convoluții sunt realizate în spațiu tridimensional (3D). O imagine este reprezentată ca o matrice 3D, având dimensiuni pentru înălțime, lățime și adâncime, prin ultima înțelegând canalele de culori (RGB). Un filtru de convoluție are dimensiuni standard ( $5 \times 5$ ,  $3 \times 3$ ) și trebuie să fie și acesta tridimensional pentru a acoperi și adâncimea imaginilor.

Un alt aspect important legat de acest proces este că, asupra unei imagini, se fac mai multe convoluții, fiecare folosind câte un filtru diferit și rezultând într-o hartă a caracteristicilor diferită. La final se așează toate hărțile obținute și acesta va fi rezultatul final al stratului de convoluție. Acest proces va fi exemplificat în paragrafele următoare.

Se folosește ca exemplu o imagine cu dimensiunea  $32 \times 32 \times 3$  și un filtru de mărimea  $5 \times 5 \times 3$  (adâncimea filtrului de convoluție trebuie să corespundă cu adâncimea imaginii: 3).

Când filtrul se află la o anumită locație acoperă o mică secțiune din imagine și se realizează operația de convoluție descrisă mai sus. Diferența este că de această dată se

face suma matricilor multiplicate în 3D în loc de 2D, dar rezultatul este tot un scalar. Se continuă procesul iterativ de convoluție descris mai sus și se agregă rezultatele în harta caracteristicilor. Aceasta din urmă va avea dimensiunea  $32 \times 32 \times 1$ , după cum se observă în Figura 4.5.

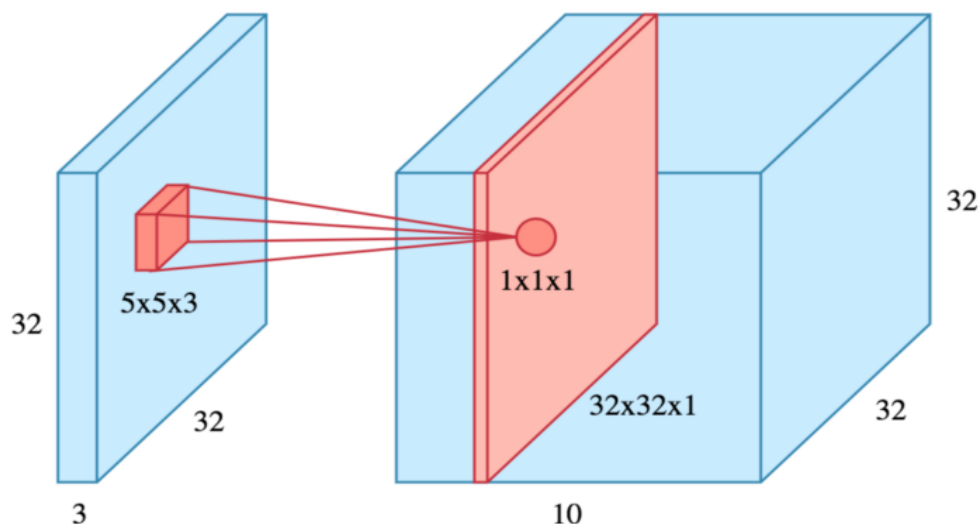


Figura 4.5: Operația de convoluție în spațiul tridimensional [20]

Dupa folosirea a 10 astfel de filtre de convoluție cu dimensiunea  $32 \times 32 \times 1$  și stivuirea lor pe adancime s-a obținut ieșirea finală a stratului de convoluție și anume: o hartă de convoluție cu dimensiunile  $32 \times 32 \times 10$ , adancimea reprezentând numărul de convoluții care au fost efectuate asupra imaginii inițiale.

Convoluția 3D nu este altceva decât o extensie a celei din spațiul bidimensional. Mai corect, ea reprezintă o generalizare a cazului particular de convoluție 2D. Dacă în cazul dimensiunii lățime X înălțime, convoluția descrie relația în acel spațiu bidimensional, la fel și o convoluție 3D, în spațiul lățime X înălțime X adâncime descrie relația între obiectele din spațiul tridimensional. Bineînțeles, în cazul imaginilor, folosim se folosește exclusiv convoluția tridimensională datorită naturii inputului.

În figura 4.6 se observă un exemplu în care două convoluții se realizează independent, simultan pe părți diferite ale imaginii de intrare și rezultă doua hărți distincte ale trăsăturilor. Acest proces se repetă până la acoperirea completă a imaginii și obținerea completă a tuturor acestor hărți sau măști ale caracteristicilor.

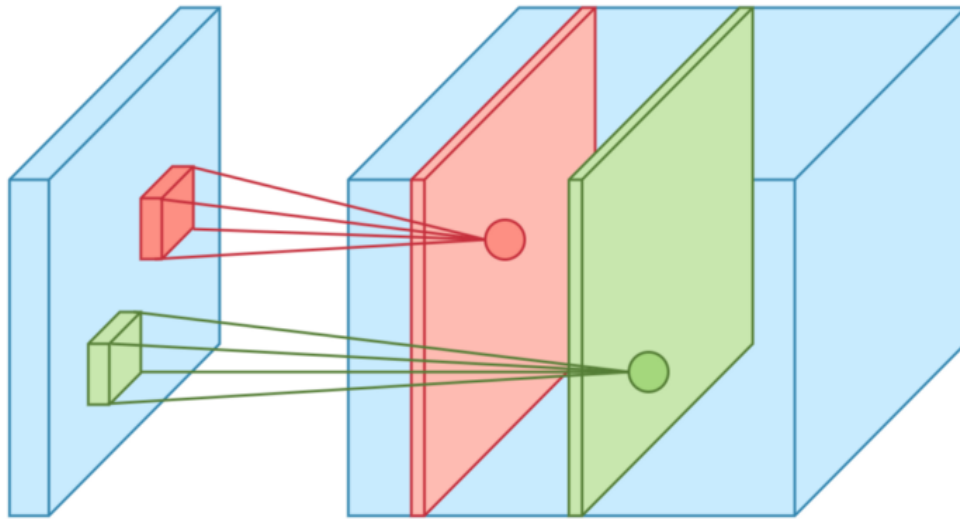


Figura 4.6: Exemplu de doua convoluții aplicate simultan și rezultatele acestora [20]

### Pooling

După terminarea pașilor de convoluție, următoarea etapă este realizarea *pooling*-ului pentru reducerea complexității. Această operație are ca scop reducerea parametrilor rezultați, lucru ce scurtează timpul de antrenare și combate incapacitatea rețelei neuronale de a generaliza (reduce învățarea pe de rost). Straturile de *pooling* se ocupă de fiecare *feature-map* (harta caracteristicilor) individual, reducând înălțimea și lățimea, dar păstrând adancimea intactă.

Cea mai comună formă de pooling este *max-pooling* care alege cea mai mare valoare dintr-o fereastră pre-definită. Contrar convoluției, aceasta nu primește niciun parametru. Operația se efectuează acoperind pe rând câte o porțiune din *feature-map* și alegând valoarea maxima. Ca și la convoluție, trebuie să specificăm dimensiunea ferestrei care acoperă inputul. Un alt tip de pooling layer este *average pooling*, care, după cum îi spune și numele, în loc să ia valoarea maximă ca și în cazul layerului max-pooling, calculează valoare medie a fiecărei ferestre din harta caracteristicilor.

Rețeaua neuronală va avea mai multe layere de pooling (această operație fiind aplicată de mai multe ori în timpul antrenării), după fiecare layer de convoluție urmând să existe și un astfel de pooling layer. Alegerea max-pooling sau average-pooling este specifică fiecărui caz și se poate experimenta sau investiga pentru a se realiza alegerea potrivită [21].

În continuare (Figura 4.7) este prezentat un exemplu de max-pooling în cadrul căruia este folosită o fereastră având dimensiunea de 2x2 și pasul de realizare al poolingului fiind de 2. Fiecare dintre culorile prezente reprezintă o acoperire diferită folosind fereastra cu dimensiunea specificată. Se observă că având dimensiunea de 2x2 și pasul de 2, nu există suprapuneri la mutarea ferestrei peste matricea de input. Dimensiunea matricii de intrare este 4x4, rezultatul fiind bineînțeles o înjumătățire a acestei matrici bidimensionale.

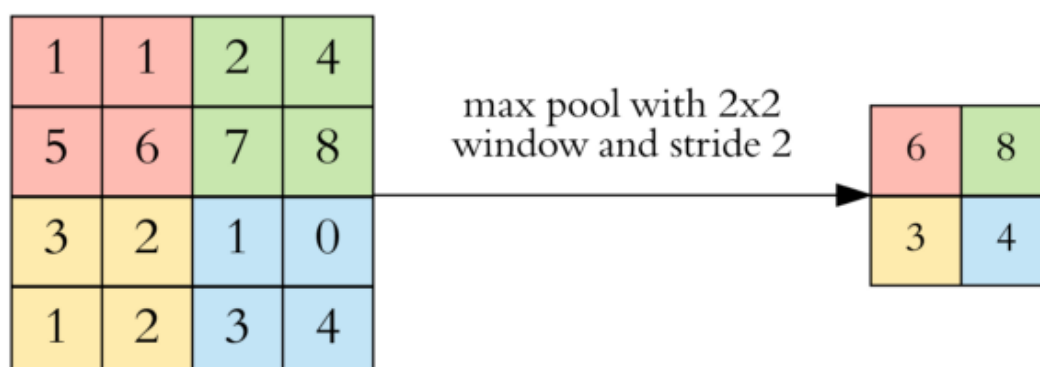


Figura 4.7: Exemplu de max-pooling cu fereastra de 2x2 și pasul de 2 [21]

Se observă cum procesul de pooling înjumătățește informațiile primite prin intermediul matricii de intrare. Aceasta reprezintă și motivul principal pentru folosirea lui: reducerea spațiului de stocare al informației pentru optimizarea și creșterea performanței, fără a se pierde însă informații importante pe parcurs.

Urmează o analiză a hărții caracteristicilor înainte și după pooling, de data aceasta în spațiul tridimensional. Se va lua ca și exemplu o hartă cu dimensiunile 32x32x10 (cea care s-a analizat în paragrafele anterioare). Folosind aceași parametri pentru pooling menționați anterior (fereastra cu dimensiunea de 2x2 și pasul de pooling 2), rezultatul va avea dimensiunea finală 16x16x10, deci o înjumătățire. Ambele, atât înălțimea cât și lățimea au fost înjumătățite, însă adâncimea rămâne intactă deoarece pooling-ul se aplică independent fiecărui strat din harta de input (în cazul acesta: 10), nealterând astfel și adâncimea. O schițare grafică a procesului explicat în acest paragraf se regăsește în Figura 4.8.

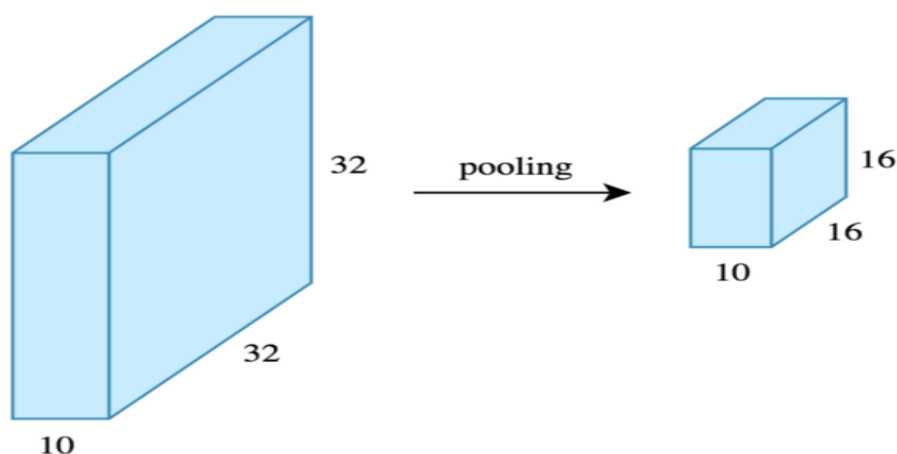


Figura 4.8: Exemplificarea utilității poolingului în spațiul 3D [21]

Prin înjumătățirea înălțimii și a lățimii, am redus ponderile la un sfert. Având în vedere ca în cazul arhitecturii Rețelelor Neuronale Convoluționale avem de-a face cu milioane de ponderi (*weights*), această minimizare este foarte importantă.

### Hiper-parametrii

În următoarele paragrafe se vor analiza, în primul rând, hiper-parametrii din punctul de vedere al convoluției, analizând opțiunile disponibile. În cazul acesta sunt disponibile 3 parametri asupra cărora trebuie făcute decizii:

- Dimensiunea filtrului: de obicei se folosește un filtru 3x3, dar 5x5 sau 7x7 sunt unele variante în funcție de aplicația unde sunt folosite. Filtrele au și o a treia dimensiune, adâncimea, dar aceasta fiind egală cu cea a imaginii de input, este omisă.
- Numărul filtrelor: Este parametrul cel mai variabil, luând valori puteri ale lui 2 între 32 și 1024. Folosind mai multe filtre rezultă un model mai puternic, dar se riscă căderea în *overfitting* (înavățare pe de rost) din cauza numărului crescut de parametri. De obicei se începe cu un număr mic de filtre la straturile inițiale, urmând ca acest număr să crească pe măsură ce se ajunge mai adânc în rețeaua neuronală.
- Pasul: Se pastrează de obicei la valoarea implicită: 1 (*pas cu pas*).

### Blocuri complet conectate

După straturile de convoluție și de pooling urmează o serie de straturi complet conectate (*fully connected layers*) pentru a îngloba arhitectura rețelei neuronale. Această arhitectură a fost prezentată în secțiunile anterioare, figura 3.5.

Un bloc complet conectat înseamnă că fiecare neuron din stratul anterior este conectat la fiecare neuron din stratul următor. În paragrafele precedente s-a menționat că ieșirile, atât a blocurilor de convoluție cât și a celor de pooling, sunt niște volume 3D, însă un layer complet conectat așteaptă un vector de numere unidimensional (1D). Din acest motiv, ieșirile primelor blocuri vor fi aplatizate (*flatten*) pentru a putea servi ca și input pentru noul bloc. Prin procesul de aplatizare înțelegem rearanjare din 3D în 1D, fără alte complicații matematice.

Cea mai puternică componentă (și principala sursă de putere) a unei CNN este blocul convoluțional. Acestea pot detecta automat caracteristici, fiind furnizate doar cu o imagine și clasa aparținătoare a acesteia. Motivul pentru care au această abilitate este modul cum sunt structurate: așezate unul peste altul. Primul bloc detectează muchiile, următorul combina muchiile pentru a crea forme, urmând ca cele ce urmează să unească toate aceste informații pentru a detecta un obiect. Rețeaua neuronală nu știe ce sunt acele obiecte, dar întâlnindu-le în repetate rânduri învață că acestea sunt caracteristici

importante. În final, straturile complet conectate folosesc aceste caractéristici pentru a putea clasifica corect o imagine.

### 4.1.3 Clasificarea

O Rețea Neuronală Convoluțională este o combinație a două mari componente: extragerea trăsăturilor și partea de clasificare. Convoluția și procesul de pooling asigură partea de extragere a caracteristicilor. De exemplu, pentru un caz mai general (un animal), blocurile de convoluție detectează caractéristici cum ar fi: doi ochi, urechi, patru picioare etc. Blocurile complet conectate acționează ca și un clasificator asupra acestor caractéristici, furnizând o probabilitate ca imaginea să aparțină unei anumite clase.

Înainte de a putea face o clasificare, procesele descrise anterior vor ajuta la antrenarea rețelei neuronale: se calculează eroarea după fiecare parcurgere, după care ponderile tuturor blocurilor sunt ajustate astfel încât eroarea să fie diminuată. Acest proces este unul repetitiv care se continuă până când eroarea nu se mai reduce semnificativ. În secțiunea următoare se vor regăsi mai multe detalii legate de acest proces de antrenare al rețelei neuronale.

În cazul unei clasificări binare cum este cea de față (plămâni sănătoși sau plămâni bolnavi). Dacă un neuron al clasei 0 (plămâni sănătoși) primește o valoare de 0, aceasta înseamnă ca este 100% nesigur dacă acea caracteristică aparține clasei sale. Dacă primește valoarea 1, este 100% sigur că acea caracteristică aparține clasei plămâni sănătoși (clasa 0). În ultimul bloc complet conectat, neuronii primesc valori între 0 și 1. Aceste valori reprezintă grade de certitudine. De exemplu, o valoare de 0.7 reprezintă o certitudine de 70%.

Neuronii care au o certitudine ridicată când o caracteristică este identificată știu că acea imagine aparține unei anumite clase. Aceștia produc un output, un echivalent matematic, care indică că ar trebui activați, deoarece acele trăsături le aparțin. Dacă acest lucru se întâmplă de mai multe ori în procesul de antrenare, rețeaua neuronală învață că atunci când anumite caractéristici sunt prezente, imaginea aparține clasei respective.

Odată ce rețeaua a fost antrenată, aceasta poate primi ca intrare o imagine și va fi capabilă să returneze probabilitatea ca acea imagine să aparțină unei anumite clase, această probabilitate fiind una cu un nivel ridicat de certitudine.

Blocul complet conectat (fully connected) conține pe ultimul strat un clasificator. Acest clasificator este de fapt o funcție de activare. Scopul acestui bloc este de a folosi caracteristicile rezultate din blocurile diferite pentru a clasifica imaginea, bazându-se pe datele de antrenare.

Ca și funcție de activare pentru clasificare, vom folosi funcția Sigmoid. Aceasta produce valori în intervalul  $[0, 1]$ . Această ultimă proprietate a funcției ajută la vizualizarea gradului de certitudine pentru o anumită clasă (între 0 și 100%). Valoarea de prag pentru această funcție de activare va fi 0.5, prin urmare orice output mai mare decât această valoare va fi atribuit clasei 1, iar orice valoare mai mică decât 0.5 va fi atribuită clasei 0.

## 4.2 Suport teoretic si algoritmi utilizați

În aceasta secțiune se vor discuta în detaliu conceptele prezentate pe scurt în paragrafele anterioare, precum și introducerea altor concepte care intra în componența lor.

Aceasta vine ca și o completare și o aprofundare în algoritmi din spatele fundamentelor teoretice prezentate anterior.

### 4.2.1 Rețele Neuronale Artificiale

Rețelele Neuronale Artificiale (**ANN** - Artificial Neural Networks), sunt o serie de algoritmi bazați pe Machine Learning. ANN folosec, ca și unitate de bază, modelul matematic al unui neuron unde impulsul nervos primit la intrare este înmulțit cu o pondere  $\omega_i$ . Pe lângă pondere, modelul neuronului mai învață și alt parametru: factor de influență sau *bias*. Semnalul de ieșire (output) este reprezentat de produsul scalar dintre ponderi și semnalul de intrare la care se mai adaugă și factorul de influență 4.2.

$$\sum_i \omega_i \times x_i + bias \quad (4.2)$$

Semnalele rezultate din produsul scalar realizat de către neuron vor fi folosite ca și intrare pentru funcțiile de activare din cadrul rețelei neuronale:

- Funcția Sigmoid:

$$\sigma(x) = \frac{1}{1 + e^{-x}} \quad (4.3)$$

- ReLU - Rectified Linear Unit:

$$f(x) = \max(0, x) \quad (4.4)$$

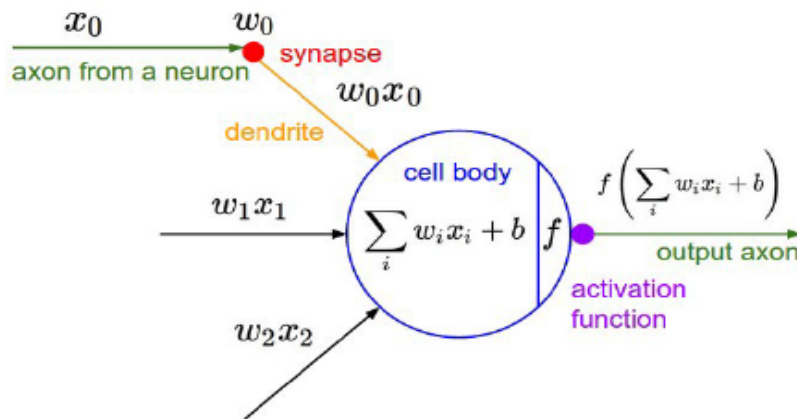


Figura 4.9: Modelul matematic al unui neuron [13]

Motivul pentru care acest tip de rețele neuronale nu se pot folosi în cazul clasificării de imagini este datorat modului cum sunt stocate imaginile în memorie. De exemplu, având imagini de dimensiunea  $500 \times 500 \times 3$  ar rezulta neuroni cu câte 750000 de ponderi. Acestea se pot folosi doar în cazul în care imaginile au dimensiuni mici. Acesta este raționamentul pentru care s-au introdus rețelele neuronale convoluționale, care elevează clasicele ANN.

### 4.2.2 Rețele Neuronale Convoluționale

Rețelele Neuronale Convoluționale (*CNN*) sunt o sub-clasă a rețelelor neuronale care sunt performante în cazul clasificării de imagini, deoarece țin cont de faptul că intrările sunt imagini, deci neuronii în cadrul acestora sunt așezați după cele 3 dimensiuni ale unei imagini: înălțime, lățime și adâncime.

CNN funcționează ca și rețelele neuronale clasice: fiecare neuron primește un input (datele de intrare), efectuează produsul scalar între ceea ce primește la intrare și ponderea asociată. Se observă în Figura 4.10 cum interacționează neuronii între ei: fiecare neuron dintr-un anumit layer al rețelei primește ca sî intrare ieșirea fiecărui neuron din stratul neuronal precedent.

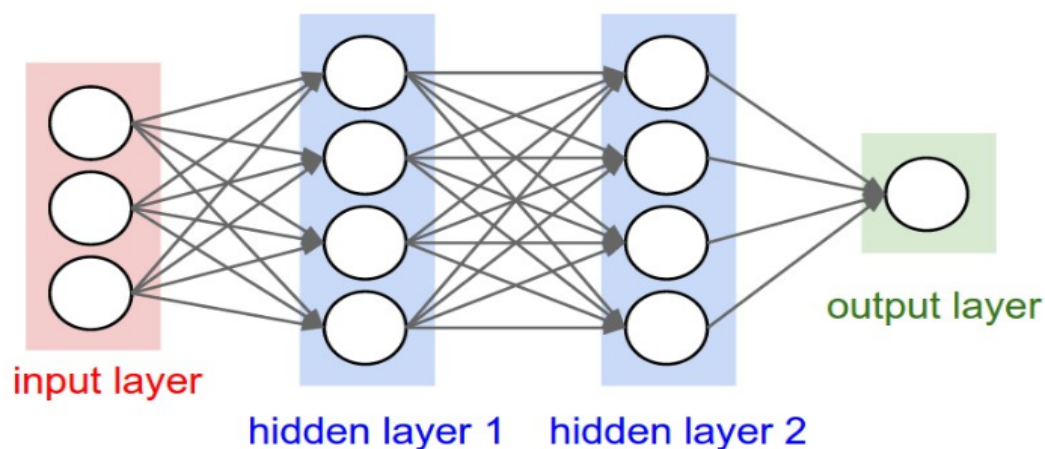


Figura 4.10: Interconectarea neuronilor într-un CNN [20]

Avantajul major în cazul procesării de imagini adus de către Rețelele Neuronale Convoluționale este faptul că acestea necesită pre-procesări puține comparat cu alte modele care se ocupă cu clasificarea imaginilor. Aceasta înseamnă că rețeaua învață să optimizeze filtrele pe care le va folosi prin învățarea automată, pe când în cadrul algoritmilor clasici acestea trebuie să fie create de către cel care dezvoltă modelul. Această independență



între cunoștințele anterioare și intervenția factorului uman în extragerea caracteristicilor reprezintă un avantaj major pentru rețelele neuronale convoluționale.

### Layerurile principale din arhitectura unei rețele neuronale convoluționale

**Primul layer** - este layerul (stratul) de intrare în rețeaua neuronală. Acesta este layerul care primește datele după ce asupra lor s-au aplicat câteva operații de pre-procesare. Conține (în cazul clasificării de imagini) culorile sau intensitatea culorilor pixelilor care compun imaginea inițială

**Layerul convoluțional** - cea mai importantă parte a rețelei neuronale convoluționale. Scopul acestui filtru este de a învăța o mulțime de filtre, aceștia fiind parametrii pe care trebuie să îi ajusteze pe durata procesului de învățare. Prin filtru se înțelege o fereastră sau un tablou de dimensiuni mai mici decât intrarea, excepție făcând adâncimea care trebuie să fie identică cu cea a intrării.

Descrise și în secțiunea anterioară, aceste filtre sau tablouri de convoluție sunt folosite pentru a putea aplica operația de convoluție asupra unor imagini (matrici tridimensionale, Figura 4.11), rezultând, pentru fiecare tip de filtru, câte o hartă caracteristicilor sau hartă de activare bidimensională care conține răspunsul filtrului după convoluție pentru fiecare poziție a imaginii în funcție de dimensiunea acestuia ( $3 \times 3$ ,  $5 \times 5$  etc.). Rețeaua neuronală va învăța filtre, acestea se vor activa în momentul apariției unor trăsături specifice unei anumite clase, pe care rețeaua le învață (în cazul pneumoniei: zone întunecoase, neregulate etc.).

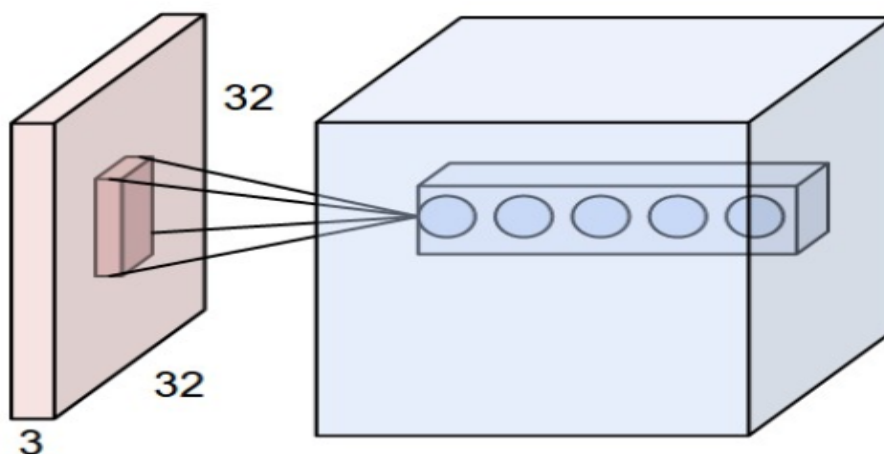


Figura 4.11: Layerul (stratul) de convoluție [20]

**Layerul Pooling** - acest layer își aduce contribuția în reducerea progresivă a dimensiunii spațiale cu scopul de a reduce numărul de parametri și al numărului de operații ale unei rețele neuronale pentru diminuarea învățării pe de rost (*overfitting*). Secțiunea anterioară oferă mai multe figuri și exemple despre această funcționalitate a acestui layer.

Un Pooling layer sau Max-Pooling layer are următorii hiperparametrii care pot fi ajustați:

- Dimensiunea ferestrei (nucleului) :  $N * M$
- Pasul - numărul de pixeli cu care se va muta fereastra în procesul de pooling (4.7).

**Layerul Dropout** - această componentă a rețelei neuronale acționează prin reducerea unui procent din neuronii implicați în procesul de învățare cu scopul de a reduce și mai mult *overfittingul*.

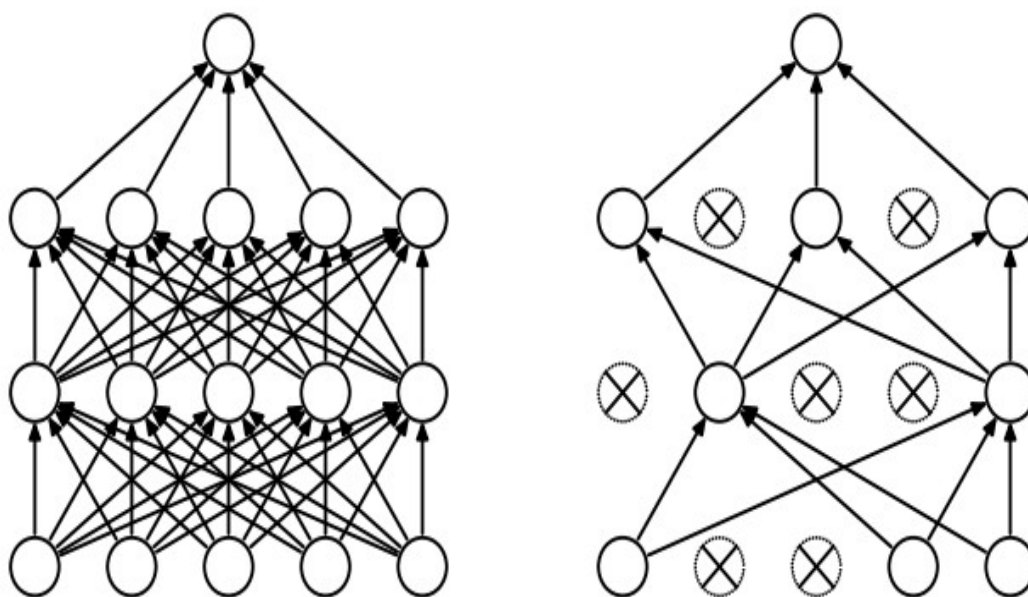


Figura 4.12: O rețea neruonală înainte și după dropout [20]

**Layerul UpSampling** - sau layer de deconvoluție. Operația pe care acest layer o aduce în cadrul rețelei neuronale convoluționale este repetarea valorii primite la input în interiorul unei ferestre.

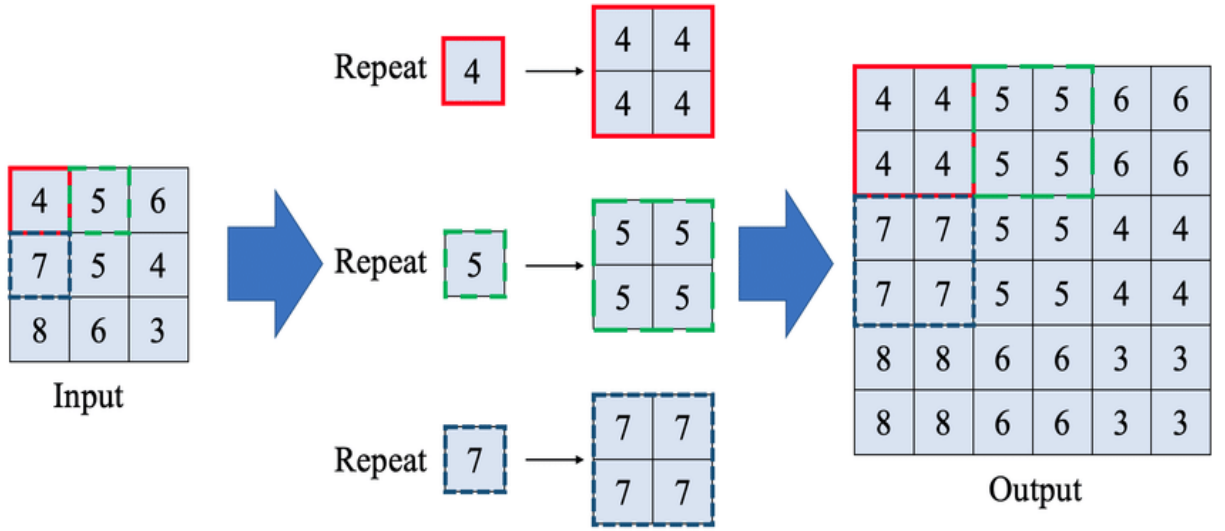


Figura 4.13: Exemplificarea procesului de upsampling [22]

Acest tip de layer se folosește în segmentarea imaginilor. În cazul unei operații de segmentare, o rețea neuronală poate fi împărțită în: rețeaua de convoluție și rețeaua de deconvoluție. Prima va încerca să clasifice unele părți ale imaginii care vor fi trimise rețelei de deconvoluție, urmând ca cea din urmă să realizeze asamblarea imaginii segmentate.

Antrenarea unei rețele neuronale nu ar fi posibilă fără o funcție de pierdere (*loss function*). Funcția de pierdere nu face altceva decât calcularea diferenței dintre ieșirea reală a rețelei neuronale și răspunsul corect care ar trebui rezultat (în cazul clasificării). Bazat pe acest rezultat, rețeaua își ajutează ponderile pentru a reduce cât mai mult această funcție.

Printre cele mai populare și des utilizare loss-functions, folosite în antrenarea unei rețele pentru clasificare, sunt:

- Entropia Încrucișată (Binary Cross-Entropy):

$$H_p(q) = -\frac{1}{N} \sum_{i=1}^N y_i \cdot \log(p(y_i)) + (1 - y_i) \cdot \log(1 - p(y_i)) \quad (4.5)$$

- Coeficientul Sørensen-Dice:

$$Dice = \frac{2|A \cap B|}{|A| + |B|} \quad (4.6)$$

### 4.2.3 Convoluția

Convoluția, descrisă pe scurt și în secțiunea anterioară, este procesul de combinare dintre pixelii unei imagini (elementele unei matrice) și o fereastră (nucleu), rezultând astfel un pixel din imaginea destinație. Elementul sau pixelul obținut în urma operației de convoluție este o combinație liniară a pixelilor din imaginea sursă peste care a fost suprapusă fereastra de convoluție [4.14].

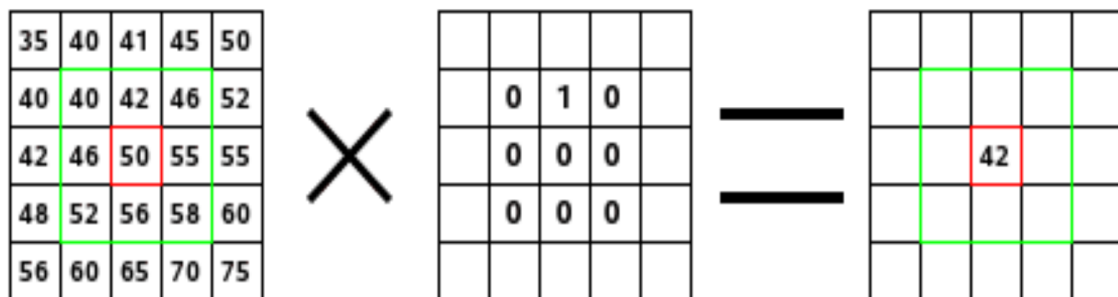


Figura 4.14: Exemplu de convoluție cu dimensiunea ferestrei 3x3

Ecuția 4.7 descrie matematic operația de convoluție dintre două funcții  $f$  și  $g$ , definită ca și integrala produsului celor două funcții după ce una dintre ele este translatată.

$$\int_{-\infty}^{\infty} f(\tau) \cdot g(t - \tau) d\tau \quad (4.7)$$

Convoluția, fiind și operația care da numele rețelei neuronale, este fundamentul pe care au fost introduse și dezvoltate aceste instrumente puternice și revoluționare în procesarea imaginilor din orice domeniu: rețelele neuronale convoluționale.

# Capitolul 5

## Proiectare de Detaliu și Implementare

Acest capitol este împărțit în două secțiuni: în prima parte sunt prezentate tehnologii utilizate în dezvoltarea aplicației, iar în cea de-a doua parte este prezentată arhitectura soluției propuse.

### 5.1 Tehnologii utilizate

În implementarea și dezvoltarea soluției propuse, limbajul de programare utilizat exclusiv este Python, acesta oferind stabilitate și mijloacele necesare pentru atingerea scopului final. Este un limbaj cu o sintaxă simplă și se pretează foarte bine pentru utilizarea în chestiuni matematice, precum și pentru procesarea de imagini care sunt foarte ușor de manipulat în acest limbaj. În general, majoritatea aplicațiilor care implementează algoritmi de machine learning folosesc Python ca și limbaj de programare.

De asemenea, ca și adăos la caracteristicile prezentate anterior, Python pune la dispoziție și o multitudine de librării ca și ajutor pentru dezvoltarea unei aplicații de acest fel:

- Pandas
- Keras
- NumPy
- Scikit learn
- Matplotlib
- OpenCV

### 5.1.1 Pandas

Pandas este o bibliotecă Python care este folosită în analiza și manipularea datelor. În cadrul proiectului de față, aceasta a fost folosită pentru încărcarea setului de date folosit la antrenarea rețelei neuronale.

### 5.1.2 Keras

Keras este un API pentru dezvoltarea și crearea rețelelor neuronale. La baza, Keras, folosește unele dintre cele mai noi soluții și cei mai noi algoritmi din acest domeniu: Tensorflow, CNTK sau Theano. Scopul creării acestuia a fost simplificarea procesului de dezvoltare al rețelelor neuronale.

Conform documentației oficiale, Keras este:

- **Simplu** – reduce timpul de scris cod repetitiv, oferind șansa dezvoltatorului să se concentreze pe părțile importante ale problemei.
- **Flexibil** – pune la dispoziție metode rapide și ușor adaptabile.
- **Puternic** – este folosit în proiecte reale și importante, oferind suport pentru scalabilitate și performanță.

Printr-un model Keras se înțelege modul de organizare al straturilor (layerelor) dintr-o rețea neuronală artificială. Un exemplu de model simplu este cel secvențial, unde layerurile sunt dispuse în formă de stivă. În Keras avem o multitudine de layeruri care pot fi modificate și ajustate după nevoie, oferind de asemenea și posibilitatea construirii unor layeruri noi. Printre layerurile existente se numără: convoluțional, pooling, drop-out etc. Metoda care configurează procesul de antrenare sau învățare se numește *compile*. Această funcție primește ca și parametrii: funcția de pierdere (loss function), metrica de optimizare etc. Utilizând Keras, dezvoltarea și implementarea unei rețele neuronale este relativ ușoară, odată ce se cunoaște arhitectura potrivită a acesteia.

Keras oferă posibilitatea folosirii, în procesul de antrenare, atât a procesorului (CPU) cât și a acceleratorului grafic (placă video, GPU). De asemenea, Keras conține și unele seturi de date care pot fi folosite pentru antrenare.

### 5.1.3 NumPy

Considerat cel mai important pachet științific din Python, NumPy facilitează operațiile matematice complexe și se află la baza unor biblioteci și pachete mai complexe (de exemplu: scikit-learn). Ariele în care NumPy oferă cel mai mult ajutor:

- Suport pentru tablouri multidimensionale.
- Operații cu matrici sau șiruri mari de numere.

- Sortări sau filtrări după anumite reguli.
- Operații puternice de algebră liniară.
- Generarea de numere sau de șiruri de numere aleatoare.

#### 5.1.4 Scikit-learn

Scikit-learn este o librărie Python pentru machine learning. Oferă o varietate de algoritmi pentru clasificare, regresie sau clusterizare, cum ar fi:

- Support Vector Machine
- Random Forest
- Gradient Boosting
- Multe altele

Menționat și în secțiunea anterioară, scikit-learn este strâns legat și are la bază librăria Numpy. Printre modulele principale pe care scikit-learn le pune la dispoziție (și care au fost utilizate și în proiectul de față) sunt:

- Învățare supervizată: Arbori de decizie, Naive Bayes, Stochastic Gradient Descent etc.
- Învățare nesupervizată: Clustering, Estimarea densității etc.
- Evaluarea și selectarea modelelor: Cross-Validation, ajustarea hiper-parametrilor
- Încărcarea și pregătirea setului de date
- Altele

#### 5.1.5 Matplotlib

Dupa cum ii spune și numele, Matplotlib, este o librărie Python pentru desenare și reprezentare grafică, folosindu-se și aceasta de NumPy. Scopul acestei librării este vizualizarea grafică a datelor, distribuția acestora sau vizualizarea rezultatelor anumitor algoritmi. Principalele tipuri de ploturi utilizate sunt:

- Line Plot.
- Histograme.
- Plot 3D.

- Diferite charturi reprezentative care pot accentua gravitatea unor neconformități (Figura 5.1)
- Multe altele

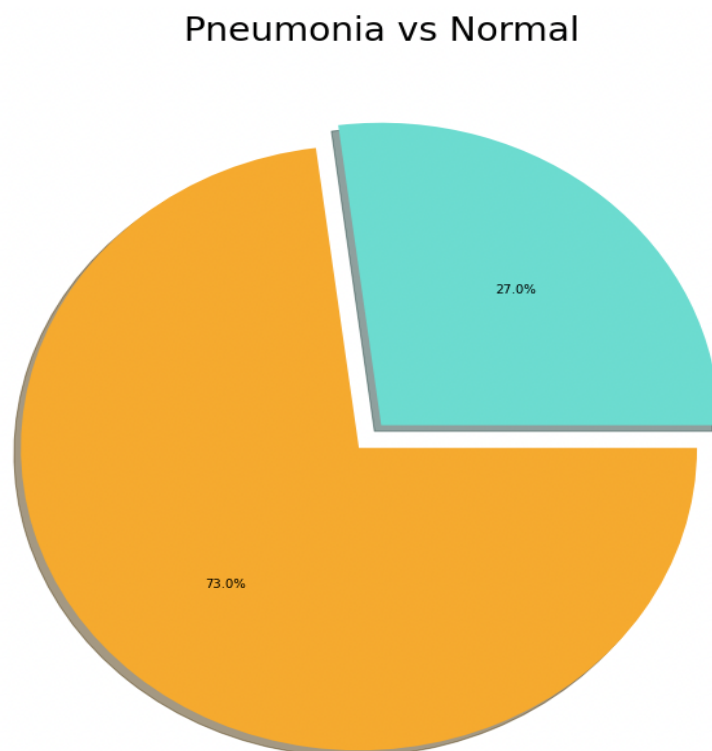


Figura 5.1: Exemplu pie-chart care reprezintă distribuția datelor sub formă procentuală.

Fiecare grafic și poza care se referă la date din acest proiect au fost realizate folosind biblioteca matplotlib și metodele puse la dispoziție de aceasta.

### 5.1.6 OpenCV

Principala bibliotecă folosită în procesare de imagini. OpenCV este disponibilă pentru limbajele Python, Java sau C++, câștigând astfel mult în popularitate. Conține peste 2500 de algoritmi optimizați exclusiv pentru procesarea de imagini. Printre utilizările acestor algoritmi se numără:

- Detecție și recunoaștere facială.
- Identificare de obiecte.
- Clasificarea gesturilor umane din materiale video.
- Urmărirea mișcării unor obiecte (cu aplicații în conducerea automată a mașinilor).



## 5.2 Arhitectura sistemului

Sistemul este împartit în trei componente principale:

- Pregătirea și pre-procesarea datelor
- Extragerea caracteristicilor
- Clasificare

Aceste componente principale au la rândul lor mai multe sub-componente care au fost descrise pe larg în secțiunile și capitolele anterioare. O reprezentare grafică a modului cum componentele aplicației interacționează unele cu altele este prezentă în figura 5.2.

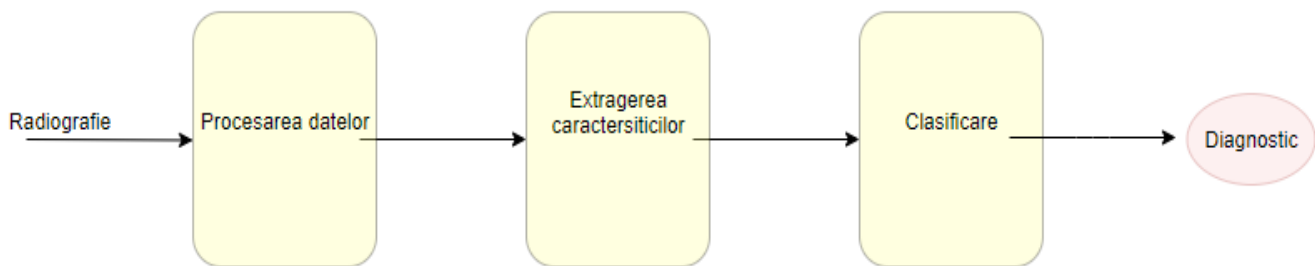


Figura 5.2: Componentele principale ale aplicației

Cea mai importantă componentă prezentată în figura precedentă este cea de Clasificare, aceasta oferind practic verdictul (diagnosticul) final. Ordinea secvențială a distribuirii blocurilor componente are ca scop evidențierea faptului ca ultima componentă se folosește de rezultatele produse de cele premergătoare ei pentru a produce un rezultat final.

Sub-componentele fiecărui bloc din figura 5.2, precum și detalii privind construirea și customizarea acestora, au fost prezentate în secțiunile aferente fiecăruia. Componentele de Extragerea caracteristicilor și Clasificare se află în interiorul Rețelei Neuronale Convoluționale.

### Setul de date

Setul de date este împartit în 3 directoare (antrenare, testare și validare) și fiecare director este la rândul său împartit în sub-directoare pentru fiecare categorie a radiografiei (Pneumonia/Normal). Sunt disponibile în total 5863 de imagini radiografice (format JPEG), divizate în cele două clase amintite: Pneumonia și Normal.

La centrul de medicină pediatrică din Guangzhou au fost făcute radiografii copiilor cu vârsta între 1 și 5 ani. Aceste imagini reprezintă radiografii efectuate la nivelul toracelui (atât anterior cât și posterior). Când un pacient cu vârsta menționată anterior era primit de către spital, acestuia i se efectuau mai multe teste și probe (incluzând bineînțeles o scanare anterioară și posterioară cu raze X), de unde au rezultat și aceste imagini.

Toate radiografiile au trecut printr-un proces de control al calității, fiind eliminate toate acele imagini care nu erau clare sau nu satisfăceau normele de calitate (erau deteriorate). Diagnosticul (categoria fiecărei imagini) a fost verificat de către 2 experți pentru a se asigura ca datele sunt 100% corecte și gata pentru a putea fi folosite într-un algoritm sau o soluție de Inteligență Artificială cum este și proiectul de față.

Un lucru important care trebuie avut în vedere când vine vorba de etichetarea manuală este eroarea survenită în urma participării factorului uman. Acest aspect poate duce deci la erori importante în setul de date (etichetarea greșită a unei radiografii pulmonare), lucru ce implică în mod direct o eroare care nu trebuie neglijată.

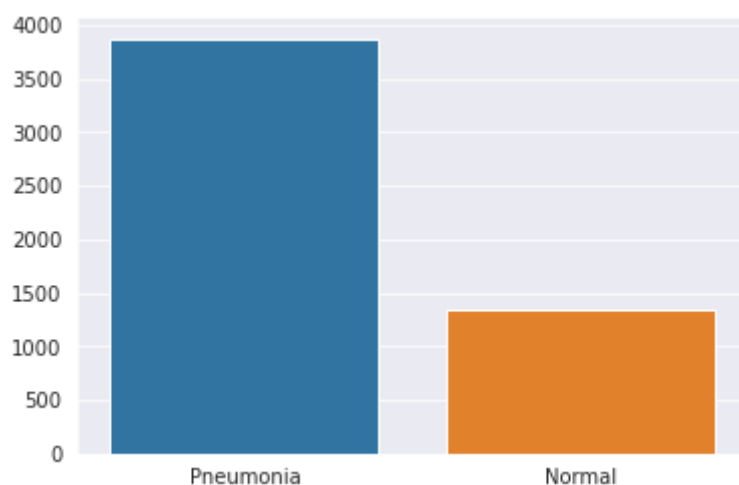


Figura 5.3: Distribuția setului de date

Specificat și anterior, în figura 5.3 se poate observa discrepanța datelor între cele două categorii de imagini, motiv pentru care au fost efectuate operațiile de augmentare și balansare a setului de date pentru reduce diferența dintre cele două categorii.

### Extragerea caracteristicilor

Componenta care se ocupă cu extragerea trăsăturilor se afla în Rețeaua Neuronală Convoluțională și reprezintă cea mai mare parte a acesteia. Privit ca un model de tip *black-box*, această componentă primește ca și intrare o imagine și harta caracteristicilor a acesteia (o mască) și returnează numele caracteristicii urmat de valoarea 0 sau 1, în funcție de cum este clasificată acea trăsătură (practic este un dicționar de forma: {trăsătură: 0/1}).

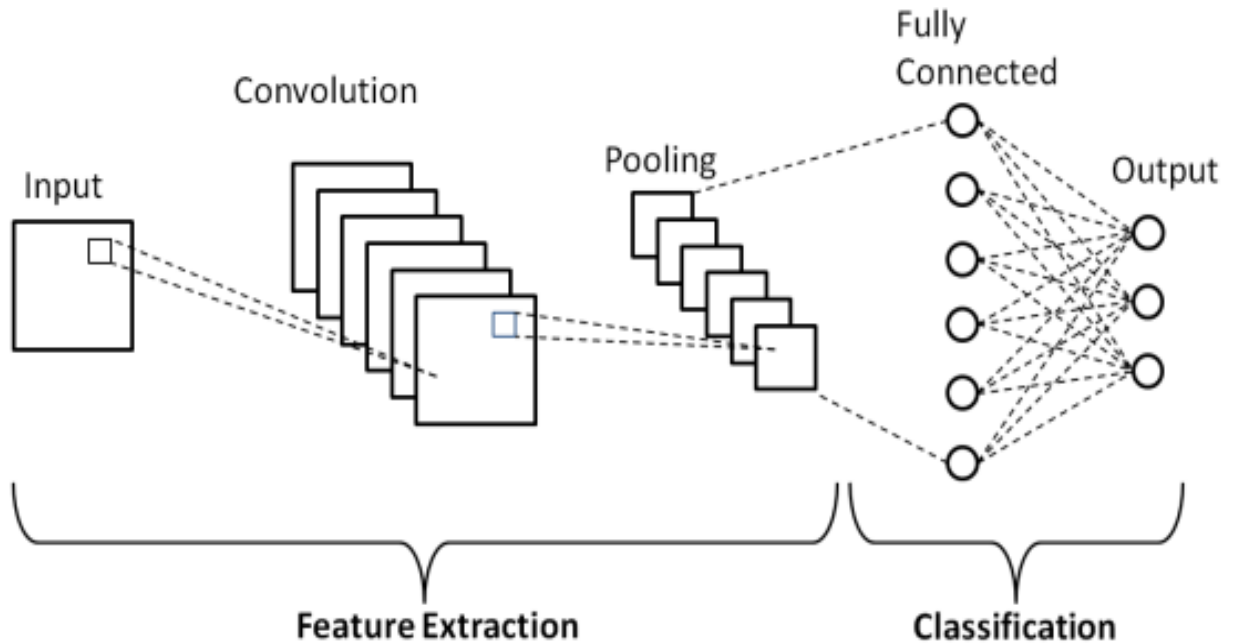


Figura 5.4: Diagrama schematică a unei Rețele Neuronale Convoluționale [23]

Deoarece o diagrama a claselor nu se potrivește tipului de soluție aleasă, figura 5.4 reprezintă o diagramă de analiză a proceselor din componenta de extragere a caracteristicilor (*feature extraction*). Se observă layerurile care au un aport mai mare în extragere, precum și cele care au o contribuție mai mare în partea de clasificare. Funcționalitatea acestor blocuri a fost prezentată în prima parte a acestui capitol.

### Clasificarea

Decizia finală sau clasificarea se face pe baza rezultatelor furnizate de procesul de extragere a trăsăturilor. Diagnosticul final va fi unul binar (plămâni sănătoși sau plămâni bolnavi), din acest motiv se folosește o funcție de activare care produce ca și output doar două posibile valori: 0 sau 1.

Funcția Sigmoid este funcția de activare folosită la ultimul pas al rețelei neuronale pentru a face clasificarea propriu-zisă, deoarece este o funcție binară și se pretează pe nevoile soluției de față: o clasificare binară a radiografiilor. Ieșirea ultimelor straturi ale rețelei este redimensionată într-un vector al caracteristicilor uni-dimensional (*1D feature vector*). Pe baza informațiilor regăsite în acest vector, funcția de activare realizează clasificarea radiografiei:

- 0 - plămâni sănătoși
- 1 - plămâni afectați de pneumonie

În continuare (Figura 5.5) regăsim layerurile și parametrii rețelei neuronale alese ca și model final în cadrul soluției de față.

| Layer (type)                  | Output Shape         | Param # |
|-------------------------------|----------------------|---------|
| conv2d_35 (Conv2D)            | (None, 148, 148, 32) | 320     |
| max_pooling2d_35 (MaxPooling) | (None, 74, 74, 32)   | 0       |
| conv2d_36 (Conv2D)            | (None, 72, 72, 64)   | 18496   |
| max_pooling2d_36 (MaxPooling) | (None, 36, 36, 64)   | 0       |
| conv2d_37 (Conv2D)            | (None, 34, 34, 128)  | 73856   |
| max_pooling2d_37 (MaxPooling) | (None, 17, 17, 128)  | 0       |
| conv2d_38 (Conv2D)            | (None, 15, 15, 256)  | 295168  |
| max_pooling2d_38 (MaxPooling) | (None, 7, 7, 256)    | 0       |
| conv2d_39 (Conv2D)            | (None, 5, 5, 512)    | 1180160 |
| max_pooling2d_39 (MaxPooling) | (None, 2, 2, 512)    | 0       |
| flatten_7 (Flatten)           | (None, 2048)         | 0       |
| dense_22 (Dense)              | (None, 256)          | 524544  |
| dense_23 (Dense)              | (None, 128)          | 32896   |
| dense_24 (Dense)              | (None, 64)           | 8256    |
| dropout_9 (Dropout)           | (None, 64)           | 0       |
| dense_25 (Dense)              | (None, 1)            | 65      |
| Total params: 2,133,761       |                      |         |
| Trainable params: 2,133,761   |                      |         |
| Non-trainable params: 0       |                      |         |

Figura 5.5: Layerurile rețelei neuronale alese

Un exemplu de predicție se regăsește în Figura 5.6. După antrenarea modelului și vizualizarea performanțelor acestuia, se decide dacă acesta reprezintă sau nu forma finală în funcție de performanțele obținute. Dacă acestea din urmă satisfac obiectivele propuse,

modelul poate fi salvat și se poate oricând face o predicție folosind metoda *predict\_classes()*, care primește ca și input o imagine sau un set de imagini, furnizând ca și rezultat clasa prezisă.

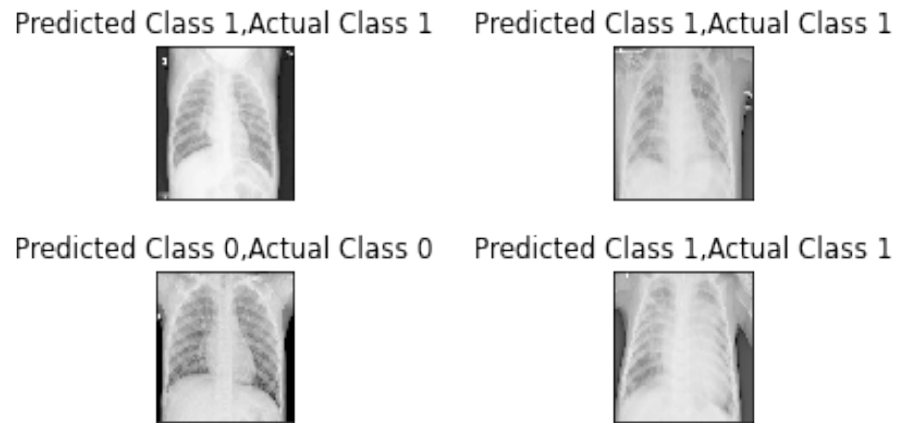


Figura 5.6: Exemplu de predicție

# Capitolul 6

## Concluzii

### 6.1 Rezumatul contribuțiilor proprii

Scopul proiectului de față a fost dezvoltarea unei soluții pentru procesarea și clasificarea imaginilor medicale, mai precis ale unor radiografii pulmonare, într-una dintre următoarele clase: plămâni sănatoși sau plămâni bolnavi. Această clasificare binară determină dacă un pacient are sau nu pneumonie, bazat pe radiografia pulmonară. În atingerea acestui scop au fost definite 3 mari obiective: importarea și pre-procesarea imaginilor, extragerea trăsăturilor folosind rețele neuronale și clasificarea propriu-zisă bazată pe trăsăturile extrase.

- În cazul primului obiectiv am propus un algoritm de pre-procesare folosind corecția Gamma (*Gamma Correction*) pentru reglarea intensității luminoase a imaginilor. Despre setul de date folosit s-a discutat în capitolul anterior, acesta fiind disponibil online și gratuit pentru oricine dorește să experimenteze sau să construiască o soluție. Pentru augmentarea (îmbunătățirea) acestui set de date am folosit *Image-DataGenerator* din librăria Keras, modificând parametrii astfel încât să funcționeze cu imaginile radiografice.
- În ceea ce privește extragerea caracteristicilor, am folosit două arhitecturi de rețele neuronale pentru a putea trage o concluzie asupra celei mai performante soluții care se pretează pe clasificarea radiografiilor. Amândouă rețelele folosesc modelul secvențial descris și anterior. Aceste rețele le-am construit folosind modelul *Sequential* pus la dispoziție în Keras, după care am adăugat layerele specifice unei rețele neuronale convoluționale. Pentru cele două soluții am folosit un număr diferit de layeruri cu parametrii diferiți.
- Clasificarea a fost făcută folosind o funcție de activare la finalul rețelei neuronale, funcție care primește rezultatele layerurilor și pe baza acestora calculează clasa din care face parte imaginea. Deoarece am avut de realizat o clasificare binară, am ales

sa folosesc functia Sigmoid ca și funcție de activare, pentru că are un output binar și ușor de interpretat. Am folosit aceasta pentru ambele modele create.

## 6.2 Analiza rezultatelor

Prima rețea neuronală construită, unde ai fost realizate 10 epoci de antrenare, a produs o acuratețe de 85%. Acesta poate parea un număr mare la început, însă în realitate nu este un rezultat deloc satisfăcător.

Pentru cea de-a doua rețea, am reușit să reduc numărul parametrilor neantrenabili. Ca și rezultate, aceasta are o acuratețe de 95%. Figura 5.5 evidențiază layerele și parametrii găsiți de acestea pentru cea de-a doua rețea neuronală folosită.

Precizia pentru clasa 1 (plămâni bolnavi) este detectată cu 97% exactitate. Acesta este un aspect foarte important în cazul unei probleme din domeniul medical, deoarece se dorește să fie identificată clasa bolnavă cu foarte mare precizie, chiar dacă unii pacienți sănătoși ajung să fie reexaminați din cauza unei greșeli, decât un pacient bolnav să fie clasificat ca și sănătos.

### Precizie și F1-score

Precizia este raportul dintre predicțiile corecte pozitive (clasa cu plămâni sănătoși) și totalul predicțiilor pozitive (nu neapărat corecte).

F1-score ia în considerare atât rezultatele fals-pozitive cât și cele fals-negative. Acuratețea singură poate fi luată în considerare dacă rezultatele fals-pozitive și fals-negative au același cost. În cazul nostru, ne dorim să eliminăm fals-negativele, deoarece asta ar însemna că un pacient bolnav ar putea fi pus în categoria celor sănătoși, lucru de evitat într-o situație medicală.

| Clasa | Precizie | F1-score |
|-------|----------|----------|
| 0     | 0.89     | 0.90     |
| 1     | 0.97     | 0.94     |

Tabelul 6.1: Rezultate de Precizie si F1-score

Un F1-score foarte bun (Tabelul 6.1), înseamnă că modelul are puține cazuri fals-pozitive și fals-negative, un lucru esențial pentru o soluție care ar putea avea o implicare directă în salvarea vieților umane.

Având în vedere rezultatele prezentate mai sus, este evident că modelul care a produs o acuratețe de 94% este cel cu care se va continua mai departe într-o eventuală dezvoltare a acestei aplicații, fiind mult mai performant decât cel pe care îl succede.

## 6.3 Direcții de dezvoltare

Prin dezvoltări ulterioare ale proiectului de față se pot lua în considerare două mari aspecte: îmbunătățirea modelului și integrarea modelului în cadrul unei aplicații/unui proiect mai mare. Pentru cel dintai caz, se pot lua în vedere următoarele:

- Schimbarea din clasificare binară în clasificare pentru mai multe clase (mai multe tipuri de boli pulmonare).
- Antrenarea pe un set de date mai mare, lucru care ar duce la o precizie mult mai ridicată al unui eventual model
- Adaugarea unor date referitoare la pacient: boli pulmonare suferite în trecut, istoric medical relevant etc.

În ceea ce privește partea de integrare a modelului, dezvoltările ar putea fi următoarele:

- Integrarea într-o aplicație care să rețină un istoric medical al pacientului, unde se vor regăsi radiografii anterioare și rezultatele acestora.
- Dezvoltarea unui portal web sau a unei aplicații desktop pentru medici specialiști. Aceasta aplicație ar rula în partea de back-end modelul și ar primi o prezicere pentru radiografia încărcată.

În concluzie, având la dispoziție un set de date relativ mic din punct de vedere al numărului imaginilor, am construit o soluție cu peste 90% acuratețe în detecția pneumoniei.

Soluția propusă îmbină algoritmi clasici de procesare ai imaginilor cu algoritmi mai moderni care au la bază rețelele neuronale convoluționale. Fiind un sistem modularizat, se poate oricând încerca alt model pentru antrenare.



# Bibliografie

- [1] P. Rajpurkar, “Chexnet: Radiologist-level pneumonia detection on chest x-rays with deep learning,” no. 1, pp. 10–15, 2017.
- [2] “Johns hopkins coronavirus resource center. covid- 19,” 2020.
- [3] D. Bull, *Communicating Pictures, A Course in Image and Video Coding*. Prentice Hall, 2014, vol. 1.
- [4] M. Jogin, M. Mohana, M. Madhulika, G. Divya, R. Meghana, and S. Apoorva, “Feature extraction using convolution neural networks (cnn) and deep learning,” 05 2018, pp. 2319–2323.
- [5] C. Szegedy, W. Liu, Y. Jia, P. Sermanet, S. Reed, D. Anguelov, D. Erhan, V. Vanhoucke, and A. Rabinovich, “Going deeper with convolutions,” in *2015 IEEE Conference on Computer Vision and Pattern Recognition (CVPR)*, 2015, pp. 1–9.
- [6] K. He, X. Zhang, S. Ren, and J. Sun, “Deep residual learning for image recognition,” in *2016 IEEE Conference on Computer Vision and Pattern Recognition (CVPR)*, 2016, pp. 770–778.
- [7] R. W. R.C. González, *Digital Image Processing*. Bellingham, Wash, 2002, vol. 1.
- [8] C. Poython, *The rehabilitation of Gamma*. Academic Press, 2007, vol. 1.
- [9] C. M. Bishop, *Neural Networks for Pattern Recognition*. -, 1995, vol. 1.
- [10] S. M. I. S. S. Luka Račić, Tomo Popović, “Pneumonia detection using deep learning based on convolutional neural network,” *2021 25th International Conference on Information Technology*, vol. 51, no. 1, pp. 15–20, 2021.
- [11] P. Shukla and K. Bhowmick, “To improve classification of imbalanced datasets,” in *2017 International Conference on Innovations in Information, Embedded and Communication Systems (ICIIECS)*, 2017, pp. 1–5.
- [12] A. Geron, *Hands-On Machine Learning with Scikit-Learn, Keras, and TensorFlow*. O’Reilly Media, Inc, 2019, vol. 1.

- [13] A. Karpathy, “Neural networks part 1: Setting up the architecture. notes for cs231n convolutional neural networks for visual recognition,” *Stanford University*.
- [14] O. e. a. Russakovsky, “Imagenet large scale visual recognition challenge,” *International Journal of Computer Vision*, 2014.
- [15] “Artificial neural network,” available at <https://en.wikipedia.org/wiki/Artificialneuralnetwork>.
- [16] G. Baltruschat, Nickisch, “Comparison of deep learning approaches for multi-label chest x-ray classification,” *Sci Rep*, vol. 9, 4 2019.
- [17] I. Goodfellow, “Nips 2016 tutorial: Generative adversarial networks,” 12 2016.
- [18] T. Bao, A. Zaidi, S. Xie, and Z. Zhang, “Surface-emg based wrist kinematics estimation using convolutional neural network,” in *2019 IEEE 16th International Conference on Wearable and Implantable Body Sensor Networks (BSN)*, 2019, pp. 1–4.
- [19] D. Jung, J.-w. Son, and S.-J. Kim, “Shot category detection based on object detection using convolutional neural networks,” 02 2018, pp. 36–39.
- [20] A. Karpathy, “Cs231n convolutional neural networks for visual recognition,” 2018.
- [21] L. A. dos Santos, “Artificial intelligence,” 2018, available at <https://legacy.gitbook.com/book/leonardoaraujosantos/artificial-intelligence>.
- [22] J. Shi, J. Dang, M. Cui, R. Zuo, K. Shimizu, A. Tsunoda, and Y. Suzuki, “Improvement of damage segmentation based on pixel-level data balance using vgg-unet,” *Applied Sciences*, vol. 11, pp. pp.518.1–17, 01 2021.
- [23] Phung and Rhee, “A high-accuracy model average ensemble of convolutional neural networks for classification of cloud image patches on small datasets,” *Applied Sciences*, vol. 9, p. 4500, 10 2019.